



ارزیابی و مقایسه ظرفیت و گسیختگی ستون های بیضی شکل با و بدون غلاف و کاربرد یک لایه و دو لایه دوربیچ تحت فشار محوری خالص

محمدمراد راغ پور^۱، سیدفتح الله ساجدی^{*}، احمد دالوند^۲

۱-دانشکده عمران، واحد اهواز، دانشگاه آزاد اسلامی، اهواز، ایران

۲-دانشکده عمران، دانشگاه لرستان، خرم آباد، ایران

تاریخچه داوری:

دریافت: ۱۳۹۹/۰۸/۰۹

بازنگری: ۱۳۹۹/۱۱/۰۸

پذیرش: ۱۴۰۰/۰۴/۲۱

ارائه آنلاین: ۱۴۰۰/۰۲/۰۱

کلمات کلیدی:

ستون بتن مسلح بیضی

ظرفیت

بتن پر مقاومت

GRF

غلاف

CFRP

دوربیچ

خلاصه: در این تحقیق تاثیر فشار محوری خالص بر ستون های بتن آرمه با مقطع بیضی ساخته شده از بتن های معمولی و پر مقاومت که توسط غلاف پلاستیکی تقویت شده با الیاف شیشه و هم چنین دوربیچ الیاف پلیمری تقویتی، محصور شدند، بررسی گردید. منظور از ظرفیت، ظرفیت فشاری ستون ها است. تأثیر نوع بتن، غلاف، دوربیچ و تعداد لایه های آن بررسی شدند. جمعاً ۱۲ ستون به قطرهای ۲۰۰ در ۱۲۰ و ارتفاع ۶۰۰ میلی متر ساخته شدند. ستون ها به دو گروه شش-تایی به ترتیب ساخته شده از بتن های معمولی و پر مقاومت، و هر گروه نیز به دو بخش سه تایی تقسیم شدند. بخش اول دارای غلاف و بخش دوم فاقد آن بودند. از هر بخش یک ستون فاقد لایه تقویتی بود، یک ستون با یک لایه و ستون دیگر با دو لایه دوربیچ شدند. دوربیچ و غلاف هر دو باعث بمبود رفتار ستون ها گردیدند. افزودن یک لایه و دو لایه دوربیچ به طور میانگین سبب افزایش ۱۹/۷٪ و ۲۸/۷٪ در ظرفیت فشاری در گروه اول و ۱۱٪ و ۲۸/۷٪ در گروه دوم شدند؛ کاربرد غلاف میانگین افزایش ظرفیت ستون ها در گروه اول به میزان ۳۱۵٪ و در گروه دوم ۲۵۱٪ را نتیجه داد. هر چند که دوربیچ و غلاف هر دو محصوریت ایجاد می کنند، اما غلاف به خاطر محصوریت بیشتر، تاثیر بسیار زیادتری بر بمبود رفتار ستون ها دارد، هم چنین تاثیر محصوریت بر رفتار ستون-های گروه اول بیشتر است.

۱- مقدمه

شده، تحقق می یابد [۱]. امروزه استفاده از بتن پر مقاومت در ساخت سازه های مختلف به ویژه ساختمان های بلند، در کشورهای پیشرفته دنیا رواج یافته است. از جمله مزایای این بتن ها می توان به مقاومت های فشاری و کششی بالا، ضریب ارجاعی بیشتر و نفوذ پذیری کمتر آن ها اشاره کرد. از عوامل موثر در رسیدن به مقاومت های بالا در بتن، استفاده از شن و ماسه مقاوم و با شکل مناسب، افزایش عیار سیمان مصرفی، محدودیت در اندازه بزرگ ترین سنگدانه، استفاده از ماسه با مدول نرمی مناسب و نسبت آب به سیمان مناسب برای همگنی بیشتر آن می باشد. همچنین با استفاده از مواد بسیار ریزدانه و با اندازه هایی کمتر از دهم میکرون مانند میکروسیلیس می توان بتن متراکم تر و با تخلخل بسیار کم را تهیه نمود. در بتن های پر مقاومت بایستی تا حد امکان نسبت آب به سیمان را کاهش و چگالی را افزایش داده تا مقاومت بیشتری به دست آید. برای تامین روانی و کارایی کافی در چنین مخلوط هایی که با آب بسیار کم تهیه می شوند، لازم است از فوق روان کننده ها استفاده شود [۲].

طبق بررسی ها در حالی که به طور میانگین، سازه ها و محصولات بتی باشد حداقل ۱۰۰ سال عمر مفید داشته باشند، اما به رغم حجم بالای سرمایه گذاری در این صنعت، به دلیل زیر پا گذاشته شدن قوانین و مقررات در تولید و اجراء، سازه ها و محصولات بتی در ایران به طور متوسط ۳۰ سال پایایی دارند. همچنین مقاومت بتن های مصرفی در احداث ساختمان ها در کشور، حداقل ۲۵ مگاپاسکال است و در بیش از ۷۰٪ ساختمان ها به حداقل ۲۰ مگاپاسکال محدود می شود. در کشورهای پیشرفته، به طور فرایند های، تولید و مصرف بتی های با مقاومت ۵۰ الی ۵۰ مگاپاسکال متداول شده است. بنابراین مشخص است که جهت رشد ارتقای کیفی بتن مصرفی در کشور نیاز به یک عزم جدی در سطوح خرد و کلان وجود دارد. لذا مطابق با سند جامع چشم انداز بتن ۱۴۰۴ کشور، رعایت حداقل مقاومت ۵۰ مگاپاسکال در طراحی سازه های بتی و استفاده از بتن های پر مقاومت در اجرای اعضاء و انواع سازه های بتی که در این سند مشخص خواهد

1 High Strength Concrete (HSC)

* نویسنده عهده دار مکاتبات: sajedi@iauhvaz.ac.ir

(Creative Commons License) حقوق مؤلفین به نویسنده ها و حقوق ناشر به انتشارات دانشگاه امیرکبیر داده شده است. این مقاله تحت لیسانس آفرینندگی مردمی (CC BY NC) در دسترس شما قرار گرفته است. برای جزئیات این لیسانس، از آدرس <https://www.creativecommons.org/licenses/by-nc/4.0/legalcode> دیدن فرمائید.



لایه‌ها زیاد می‌شوند، اما این افزایش متناسب با افزایش تعداد لایه‌ها نیست؛ لایه اول دوربیچ تاثیر فراوانی بر ظرفیت نهایی خواهد داشت، اما افزودن لایه‌های بعدی تاثیر کمتری دارند و امتداد قرارگیری الیاف یکی از پارامترهای CFRP مؤثر بر مقاومت و شکل‌پذیری استوانه‌های بتی محصر شده با CFRP می‌باشد [۱۰ و ۱۱]. همچنین تحقیقات انجام شده در مورد شکل مقطع ستون‌های مقاوم‌سازی شده نشان داده است که مقاطع مربعی و مستطیلی به اندازه مقاطع دایره‌ای تحت تاثیر محصر شدگی قرار نمی‌گیرند، زیرا در این مقاطع برخلاف مقاطع دایره‌ای فشار محصر کننده یکنواخت نیست و ستون‌های مربعی نسبت به ستون‌های دایره‌ای در نقطه کرنش حداکثر، GFRP تنش نهایی کمتری را تحمل می‌نمایند به طوری که تاثیر الیاف CFRP بر ظرفیت فشاری مقاطع دایره‌ای حدود $4/5$ برابر مقاطع مربعی بود، زیرا که در مقاطع دایره‌ای فشار محصر کننده یکنواخت است، ولی در مقاطع مربعی این فشار از بیشترین مقدار در گوشه به کمترین مقدار در میانه اضلاع تغییر می‌کند. همچنین آن‌ها به بررسی شکل‌پذیری ستون‌های تحت مطالعه پرداختند و نتیجه گرفتند که ستون‌های با مقاطع دایره‌ای افزایش شکل‌پذیری GFRP بیشتری نسبت به ستون‌های مربعی دارند؛ به طوری که تاثیر الیاف CFRP بر شکل‌پذیری مقاطع دایره‌ای حدود 3 برابر مقاطع مربعی بود. علت این امر را می‌توان در توزیع یکنواخت فشار محصر کننده مقاطع دایره‌ای دانست [۱۲-۱۵]. به علاوه بررسی ستون‌های بتی مسلح توالی محصر شده با دوربیچ CFRP نشان می‌دهد که این ستون‌ها عملکرد بهتری در تحمل بارهای محوری دارند، و ستون‌های توالی بتی مسلح که دارای حفره‌های دایره‌ای بودند، بار نهایی بیشتری در مقایسه با ستون‌هایی که حفره‌های مربعی داشتند، تحمل می‌کنند همچنین نتایج نشان داد که ستون‌ها علاوه بر دوام بسیار عالی، مقاومت و شکل‌پذیری بالایی نیز داشتند [۱۶ و ۱۷]. از سوی دیگر تحقیقات نشان داده که درصد مقاوم‌سازی ایجاد شده با ورق‌های CFRP برای ستون‌های ساخته شده از بتون‌های کم‌مقاومت و متوسط در مقایسه با بتون‌های پر مقاومت، بیشتر است، دلیل احتمالی این امر را می‌توان کم‌بودن مقاومت ایجاد شده از سوی لایه محصر کننده نسبت به مقاومت فشاری بتن دانست [۱۸ و ۱۹]. روش محصر‌سازی ستون‌های بتی مسلح با CFRP برای ستون‌های با مقاطع دایروی بسیار موثر می‌باشد، اما اثربخشی آن برای ستون‌های مستطیلی بسیار کاهش می‌یابد؛ یک امکان برای افزایش این اثربخشی تبدیل مقاطع مستطیل به بیضی می‌باشد. تحقیقات انجام شده نشان می‌دهند که ظرفیت فشاری قابل توجهی برای مقاطع کاملاً بیضی به دست می‌آید. ظرفیت فشاری محوری بتن محصر شده با CFRP در

تاکنون تحقیقات زیادی بر عملکرد پایداری ستون‌های بتی ساخته شده از بتن پر مقاومت با دوربیچ ورق‌های کربنی پلیمری تقویتی^۱ انجام شده است. قریب به اتفاق مطالعات انجام شده بر این امر اجماع نظر دارند که ظرفیت فشاری و شکل‌پذیری ستون‌های بتی ساخته شده از بتن پر مقاومت با دوربیچ ورق‌های مذکور به طور قابل توجهی بهبود داشته است علاوه بر این هنگام آسیب‌دیدگی جزئی در ستون‌های بتی تقویت شده با الیاف و ساخته شده از بتن پر مقاومت، پیوستگی زیادی در هسته آن‌ها مشاهده گردید و همچنین استفاده از ورق‌های CFRP باعث بهبود شکل‌پذیری جانبی ستون‌ها گردید [۳-۵]. چندین سال است از CFRP به منظور تقویت و بهسازی سازه‌های موجود و همچنین ساخت سازه‌های جدید در مهندسی عمران استفاده می‌شود. در سال‌های اخیر، روش‌های مختلفی برای تقویت ستون‌های بتی با استفاده از نوارهای CFRP ابداع شده است که از این میان، دوربیچ ستون‌ها با این نوارها به عنوان متداول‌ترین روش تقویت ستون‌های بتی شناخته می‌شود. محصر‌سازی اجزاء سازه با CFRP باعث افزایش ظرفیت باربری و همچنین فزونی شکل‌پذیری سازه می‌گردد. وقتی بتن با استفاده از این نوع پوشش محصر می‌شود، رفتار آن تغییر کرده و منحنی تنش-کرنش آن متفاوت خواهد بود، که تا به حال مودهای مختلفی در این زمینه ارائه شده است. تاکنون تحقیقات زیادی بر ظرفیت فشاری محوری بتن محصر شده با CFRP انجام شده است. قریب به اتفاق مطالعات انجام شده بر این امر اجماع نظر دارند که استفاده از دوربیچ CFRP باعث افزایش مقاومت و شکل‌پذیری محوری ستون‌ها می‌شود پلیمرهای تقویت شده با الیاف CFRP به علت دارا بودن ویژگی‌های مکانیکی مناسب، نصیب آسان و نسبت مقاومت به وزن بالا، معمول‌ترین گونه از کامپوزیت‌ها هستند که برای تقویت و بهسازی سازه‌ای استفاده می‌شوند. در کنار این برتری‌ها، مقاومت کم در برابر آتش، ناتوانی در اعمال بر روی سطوح مرطوب و در دماهای پایین را می‌توان از کاستی‌های کامپوزیت‌های CFRP دانست. از این رو کامپوزیت‌های نوین پایه سیمانی تقویت شده با الیاف^۲ با ویژگی‌ها و برتری‌های خود نسبت به کامپوزیت‌های CFRP، در سال‌های اخیر جایگزینی مناسب برای آن‌ها به حساب می‌آیند و تحقیقاتی در راستای شناخت بیشتر رفتار این کامپوزیت‌ها، انجام گرفت و روابطی برای محاسبه کرنش الیاف پیشنهاد گردید [۶-۹]. همچنین تحقیقات انجام شده در مورد افزایش تعداد لایه‌های دوربیچ نشان داده است که ظرفیت فشاری محوری و شکل‌پذیری ستون‌های محصر شده با دوربیچ CFRP با افزایش تعداد

1 Carbon-fibers reinforced polymers (CFRP)

2 Fiber reinforced cementitious matrix

دارند، استفاده از لوله‌های GRP جهت محصوریت ستون‌ها باعث افزایش ظرفیت فشاری، کاهش لاغری و افزایش مقاومت در برابر کمانش می‌شود [۳۰ و ۳۱]؛ همچنین استفاده از این نوع غلاف در ستون‌ها، تحت اثر ضربه بررسی شده و مشاهده گردید که محصوریت ایجاد شده ناشی از کاربرد غلاف GRP اثر مطلوبی در افزایش ظرفیت این ستون‌ها تحت بارهای ضربه‌ای محوری دارد و الگوی شکست این ساختار ترکیبی به شدت وابسته به سطح انرژی ضربه است. به علاوه افزایش ضخامت لوله و نسبت حجمی فولاد تقویتی به بتن، توانایی مقاومت در برابر ضربه را به مقدار قابل توجهی افزایش می‌دهد، و با توجه به اینکه از دورپیچ GFRP برای مقاومسازی ستون‌های بتن مسلح استفاده می‌شود، به دست آمد که افزایش مقدار مواد FRP بر شاخص قابلیت اطمینان مقاومسازی تأثیر ندارد [۳۲ و ۳۳]. در این تحقیق هدف بررسی آزمایشگاهی تأثیر جدآگانه و همزمان کاربرد غلاف GFRP و دورپیچ CFRP بر رفتار ستون‌های بتن مسلح با مقطع بیضی و ساخته شده از بتن‌های معمولی و پرمقاومت می‌باشد، که با ساخت ۱۲ نمونه ستون بتن مسلح بیضی شکل با قطرهای ۱۲۰ و ۲۰۰ و ارتفاع ۶۰۰ میلی‌متر با و بدون حضور CFRP و غلاف لوله‌ای GRP، و تعیین ظرفیت فشاری و تغییر شکل محوری آن‌ها، این هدف دنبال شده است.

۲- مشخصات دورپیچ CFRP و غلاف GRP مصرفی

ورقه‌های کامپوزیتی CFRP استفاده شده در تحقیق به صورت یک جهته و ساخت شرکت TORAY ژاپن می‌باشند. خواص مکانیکی دورپیچ CFRP بر اساس اطلاعات کارخانه تولید کننده، از آزمایش‌های انجام شده به ترتیب طبق استانداردهای ASTM D7565 [۳۴] و ASTM D2996 [۳۵] در جدول ۱ ارائه شده‌اند. چسب اپوکسی مصرفی ساخت شرکت پایا و به صورت دو جزئی متشکل از رزین و سخت کننده می‌باشد که به ترتیب با نسبت ۱:۳ ترکیب و به مدت حداقل پنج دقیقه با دست مخلوط می‌شوند. مدت زمان لازم برای گیرش رزین و مراقبت از آن متأثر از دمای محیط بوده و در حالت متعارف و با توجه به توصیه‌های شرکت سازنده بین ۵ تا ۷ روز متغیر است. تنش کششی قابل تحمل چسب ۳۰ مگاپاسکال و کرنش گسیختگی کششی آن $3/6\%$ می‌باشد. مشخصات ترکیب چسب مذکور بر اساس گزارش کارخانه سازنده و از آزمایش‌های انجام شده طبق استاندارد ASTM D638 [۳۶] به دست آمدند.

لوله‌های کامپوزیتی GRP بیضی شکل ساخت کارخانه فرابرد شیراز می‌باشند که با الیاف شیشه آغشته به رزین تولید می‌شوند. این لوله‌ها بر حسب

ستون‌های بیضوی را می‌توان با استفاده از شکل معمول مدل‌های مقاومت برای بتن محصور شده با CFRP در ستون‌های دایره‌ای با جایگزینی فشار محصور کننده با فشار محصور کننده موثر پیش‌بینی کرد، که آن را می‌توان با یک ضربی تأثیر شکل مقطع در یک ستون دایروی معادل با همان نسبت حجمی CFRP بیان کرد. همچنین یک مدل تنش-کرنش برای ارزیابی رفتار فشاری ستون‌های بتن مسلح با مقطع بیضی و دایره‌ای بر اساس معیار موهر-کلمب^۱ ارائه گردید [۲۰ و ۲۱]. یکی دیگر از روش‌های تقویت ستون‌ها استفاده از لوله به شکل غلاف می‌باشد. تا به حال تحقیقات مختلفی در استفاده از لوله‌های پلاستیکی^۲ و لوله‌های فولادی به عنوان غلاف برای اعضای بتونی انجام شده است، که نتایج مثبتی داشته‌اند، ولی تاکنون استفاده از لوله‌های GRP کمتر مورد بررسی واقع است. استفاده از لوله‌های GRP جهت محصوریت ستون‌ها باعث افزایش مقاومت فشاری، کاهش لاغری و افزایش مقاومت در برابر کمانش می‌شود [۲۲]. همچنین از مواردی که به ندرت بررسی شده است، استفاده از لوله‌های GRP بیضی شکل می‌باشد، که نتایج و محاسبات گویای آن است که مقطع بیضی شکل بهترین مقطع در کاهش تنش برشی و در نتیجه کاهش آب شستگی اطراف پایه‌های پل‌ها می‌باشد [۲۳]. تاکنون تحقیقات زیادی در خصوص رفتار ستون‌های فولادی بیضوی پر شده با بتن تحت نیروی فشاری انجام شده است. در اکثر مطالعات انجام شده مودهای شکست به صورت کمانش موضعی در لوله‌های فلزی و گسیختگی برشی در بتن پر کننده مشاهده گردید، و با کاهش نسبت قطر به ضخامت شکل‌پذیری خمی افزایش، و با افزایش نسبت قطر به ضخامت شکل‌پذیری کم شد. شکست تمام ستون‌های لاغر با کمانش خمی کلی اتفاق افتاد، اما در اکثر موارد تسلیم موضعی فولاد قبل از کمانش نهایی رخداده است و ستون‌های ساخته شده از بتن معمولی منجر به شکست بسیار شکل‌پذیرتر نسبت به ستون‌های ساخته شده از بتن پرمقاومت شدند، که این امر به دلیل شکنندگی بتن با پرمقاومت است [۲۷-۲۴]. علاوه بر این تحقیقات انجام شده بر روی تیرستون‌های لاغر با مقطع بیضی شکل توخالی پر شده از بتن نشان داده است که ظرفیت باربری نهایی با افزایش لاغری کاهش می‌یابد و با افزایش درصد فولاد تقویتی، ظرفیت باربری اضافی ایجاد شده است، که منجر به افزایش ظرفیت باربری نهایی گردید. افزایش نسبت بعد بیضی باعث کاهش ظرفیت فشاری محوری و خمی می‌شود [۲۸ و ۲۹]. تحقیقات انجام شده بر ستون‌های بتونی با غلاف GRP نشان داده که این ستون‌ها از حیث ظرفیت فشاری، سختی و شکل‌پذیری عملکرد مناسبی

1 Mohr-Coulomb

2 Poly Vinyl Chloride (PVC)

جدول ۱. خواص مکانیکی دورپیچ CFRP و غلاف لوله های GRP [۳۵ و ۳۶]

Table 1. Mechanical properties of CFRP wrapping and GRP casing

مشخصات کامپوزیت	CFRP	غاراف لوله GRP
ضخامت (mm)	۰/۱۶	۸
چگالی (kg/m ³)	-	۱۸۰۰
وزن در واحد سطح (g/m ²)	۳۰۰	-
تنش کششی (MPa)	۴۹۰۰	۷۵
ضریب ارتجاعی استاتیکی (GPa)	۲۳۰	۱۲۰
ضریب پواسون	۰/۳	۰/۴
کرنش نهایی (%)	۲/۵	۱/۳

*: توجه شود که ارجاع به ASTM در عنوان جدول به این معنی است که شرکت سازنده مصالح، در تعیین و ارائه مشخصات مکانیکی مصالح طبق این استاندارد آزمایش‌های لازم را انجام داده است.

شده است.

نتایج آزمایش‌های مقاومت فشاری در سن ۲۸ روزه در جدول ۳ داده شده است. میانگین مقاومت فشاری نمونه‌های استوانه‌ای بتن معمولی ۳۲/۳ و بتن پرمقاومت ۶۵/۸ مگاپاسکال به دست آمد.

۳-۲- مشخصات نمونه‌ها

نمونه‌های آزمایشگاهی تحقیق حاضر شامل ۱۲ عدد ستون بتی با مقطع بیضی با قطرهای ۲۰۰ و ۱۲۰ و ارتفاع ۶۰۰ میلی‌متر هستند، که آزمایش فشار محوری خالص بر روی آن‌ها انجام شده است. تمام ستون‌ها از بتن آرمه ساخته شدند. ستون‌ها به دو گروه ۶ تایی از بتن معمولی و بتن پرمقاومت تقسیم شدند و در هر گروه سه ستون دارای غلاف و سه ستون دیگر فاقد غلاف بودند؛ از هر بخش ۳ تایی یک ستون فاقد دورپیچ، یک ستون با یک لایه و دیگری با دو لایه دورپیچ شدند. ستون‌ها بر اساس اجزای سازنده آن‌ها نام‌گذاری شدند. برای ستون‌های ساخته شده از بتن معمولی و فاقد غلاف و دورپیچ حرف N، برای ستون‌های دارای غلاف حرف G و ستون‌های دارای دورپیچ حرف H، ستون‌های دارای غلاف حرف F منظور گردیدند. عددی که پس از حرف F آمده نشانگر تعداد لایه‌های دورپیچ می‌باشد. در جدول ۴ مشخصات نمونه‌های آزمایشگاهی تحقیق ارائه گردیده است.

فشار داخلی که تحمل می‌کنند، دسته‌بندی می‌شوند. در این پژوهش از لوله‌های GRP بیضی شکل با تحمل فشار داخلی ۱۰ بار استفاده شده است. مشخصات لوله‌های GRP بیضی شکل بر اساس اطلاعات کارخانه تولید کننده از آزمایش‌های انجام شده طبق استاندارد ASTM D2996 [۳۵] در جدول ۱ ارائه شده‌اند. جهت انجام آزمایش‌های این تحقیق از لوله‌های GRP بیضی شکل به طول ۶۰۰ قطرهای داخلی ۱۲۰ و ۲۰۰ و ضخامت ۸ میلی‌متر استفاده شده است.

۳- برنامه آزمایشگاهی

۳-۱- آزمایش‌های اولیه

برای تعیین مقاومت فشاری بتن مصرفی در ساخت ستون‌ها، نمونه‌های استوانه‌ای به ترتیب با قطر و ارتفاع ۱۵۰ و ۳۰۰ میلی‌متر طبق توصیه ACI211 [۳۷] تهیه و پس از عمل آوری در حوضچه آب در سنین ۷ و ۲۸ روزه آزمایش مقاومت فشاری روی آن‌ها به عمل آمد. برای تهیه بتن پرمقاومت جهت ساخت بتون متراکم و کم تخلخل از ژل میکروسیلیس چسباننده شد. همچنین برای افزایش مقاومت فشاری بتون نسبت آب به مواد استفاده شد. اسلامپ در بتون لازم از فوق روان کننده همراه با آب اختلاط استفاده شد. اسلامپ در بتون معمولی ۸۰ و در بتون‌های مقاومت بالا ۱۹۰ میلی‌متر بود. جزئیات طرح اختلاط بتون‌های معمولی و پرمقاومت مصرفی در ساخت نمونه‌ها در جدول ۲ ارائه

جدول ۲. جزئیات طرح اختلاط بتن های معمولی و پر مقاومت مصرفی در ساخت ستون های تحقیق (kg/m³)

Table 2. Details of the mixing design of ordinary and high-strength concrete in the construction of research columns (kg/m³)

w/b	فوق روان کننده	ژل میکروسیلیس	ماسه	شن	آب	سیمان نوع بتن ۲
۰/۴	-	-	۹۰۶	۹۰۴	۱۶۰	۴۰۰ معمولی
۰/۲	۳	۵۵	۷۲۰	۹۳۰	۱۲۳	۵۵۰ پر مقاومت

جدول ۳. نتایج آزمایش مقاومت فشاری نمونه های استوانه ای استاندارد در سن ۲۸ روزه (MPa)

Table 3. Compressive strength test results of standard cylindrical specimens at 28 days of age (MPa)

نوع بتن	نمونه ۱	نمونه ۲	نمونه ۳	میانگین
معمولی	۳۱/۹	۳۳/۰	۳۲/۳	۳۲/۳
پر مقاومت	۶۷/۷	۶۷/۷	۶۶/۱	۶۵/۸

جدول ۴. مشخصات نمونه های آزمایشگاهی تحقیق

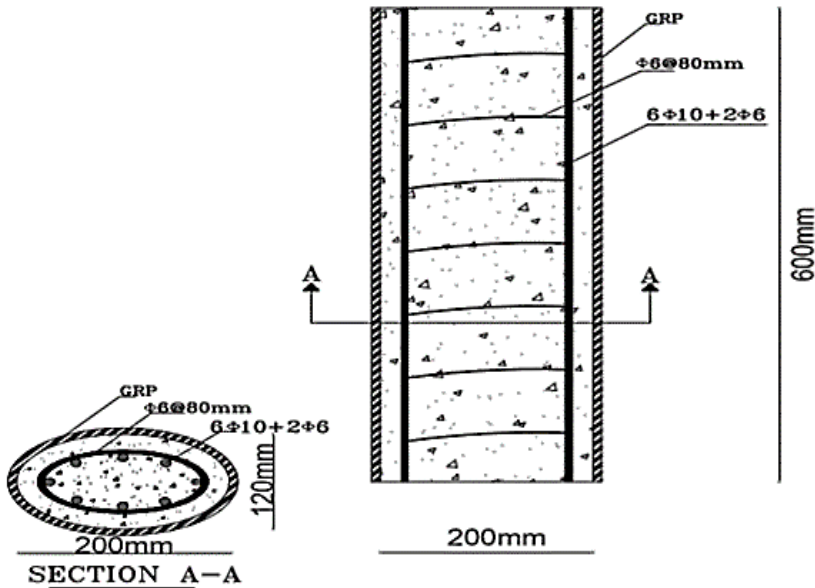
Table 4. Specifications of research laboratory samples

ردیف	۱	۲	۳	۴	۵	۶	۷	۸	۹	۱۰	۱۱	۱۲	نام نمونه	
GHF2	GHF1	GH	HF2	HF1	H	GNF2	GNF1	GN	NF2	NF1	N			
دارد	لوله غلاف	GRP												
دارد	دور پیچ	CFRP												
۲	۱	-	۲	۱	-	۲	۱	-	۲	۱	-	-	تعداد لایه های	
													دور پیچ	

ابعاد مقطع و ارتفاع تمام ستون ها به ترتیب به صورت ۱۲۰×۲۰۰ و ۶۰۰ میلی متر است.

۳-۳- آماده سازی نمونه ها

نمونه های آزمایشگاهی تحقیق حاضر شامل ۱۲ عدد ستون بتنی با مقطع بیضی با قطرهای ۲۰۰ و ۱۲۰ و ارتفاع ۶۰۰ میلی متر هستند، همچنین دو نمونه به عنوان ذخیره در نظر گرفته شدند که در صورت بروز مشکل در حین انجام آزمایش ها، مورد استفاده قرار گیرند. میزان آرماتورهای طولی استفاده شده در همه ستون ها برابر ۰/۲٪ سطح مقطع ناخالص ستون در نظر گرفته شد، که این مقدار با استفاده از ۶ عدد آرماتور آجادار به قطر ۱۰ و ۲ عدد آرماتور آجادار به قطر ۶ میلی متر تأمین شده است. برای جلوگیری از تمرکز تنش روی آرماتورهای طولی، این آرماتورها در فاصله ۲۰ میلی متر مانده به دو انتهای ستون قطع شدن؛ بنابراین طول واقعی آرماتورهای طولی ۵۶۰ میلی متر می باشد. همچنین در هر شبکه، آرماتور مارپیچ با گام ۸۰ و به قطر ۶ میلی متر استفاده گردید؛ این گام به صورتی انتخاب شده که محصور شدگی داخلی زیادی توسط خاموت ها ایجاد نشود. پوشش بتن روی آرماتورها به مقدار ۲۰ میلی متر منظور گردید. جهت تأمین پوشش مورد نظر برای



شکل ۱. مقاطع طولی و عرضی ستون‌های تحقیق

Fig. 1. Longitudinal and transverse sections of research columns

دقت به دور ستون‌ها پیچیده شدند. جهت اطمینان از عدم جدایی لبه‌های انتهایی دورپیچ، به میزان ۱۰۰ میلی‌متر همپوشانی شدند. ستون‌هایی که دارای دو لایه دورپیچ بودند، به مدت ۲ ساعت پس از نصب لایه اول، لایه دوم دورپیچی شد. تمام ستون‌ها با زاویه صفر درجه دورپیچ شدند و برای عمل آوری چسب، ستون‌ها به مدت ۷ روز در دمای محیط نگهداری شدند. ستون‌های دورپیچی شده با CFRP در شکل ۴ نشان داده شده‌اند.

آرماتورهای طولی و عرضی، از فاصله انداز استفاده شد. تنش تسیلم آرماتورها بر اساس کاتالوگ کارخانه سازنده برای آرماتورهای طولی و عرضی به ترتیب برابر ۴۰۰ و ۳۰۰ مگاپاسکال می‌باشد [۳۸]. در شکل ۱ مقاطع عرضی و طولی ستون‌های مورد تحقیق نشان داده شده است.

سپس قالب بیضی شکل مطابق شکل ۲ با قطرهای ۲۰۰ و ۱۲۰ و ارتفاع ۶۰ میلی‌متر ساخته شده، سپس در هر یک از دو گروه ستون‌ها ۳ عدد لوله GRP جهت ساخت ستون‌های با غلاف و ۴ عدد لوله GRP جهت قالب ستون‌های بدون غلاف تهیه گردید. لوله‌ها و قالب‌ها بر روی صفحات فلزی قرار گرفتند و سطح داخلی قالب‌ها جهت جداسازی آسان قالب از سطح بتون به رونمایی آغاز شد و قفسه میلگردی درون غلاف GRP و قالب نشان می‌دهد. نحوه قرارگیری قفسه میلگردی درون غلاف GRP و قالب نشان می‌دهد.

در گروه اول از بتون معمولی و در گروه دوم از بتون پر مقاومت استفاده شد. پس از باز کردن قالب‌ها، ستون‌ها به مدت ۲۸ روز در حوضچه آب عمل آوری شدند، سپس با CFRP دورپیچ گردیدند. در آماده‌سازی ستون‌های بتونی برای نصب لایه‌های دورپیچ قبل از استفاده از چسب اپوکسی، ابتدا سطح بیرونی ستون‌ها به طور کامل صاف، تمیز و خشک گردیدند. چسب مصرفی دو جزئی و مت Shank از رزین و سخت کننده بوده، که به ترتیب با نسبت ۱:۳ ترکیب و به مدت حداقل پنج دقیقه با دست مخلوط گشته، و سپس یک لایه نازک از آن روی سطح استوانه بتونی مالیده شد و لایه‌های دورپیچ با



شکل ۲. قالب بیضی ساخت ستون‌ها

Fig.2. Elliptical shape of columns



شکل ۳. نحوه قرارگیری قفسه میلگردها درون غلاف و قالب ها

Fig.3. How to place the network of rebars inside the casing and molds a) columns made of ordinary concrete; b) columns made of high- strength concrete



(الف) ستون های ساخته شده از بتن معمولی



شکل ۴. ستون های تحقیق پس از دوربیچی با CFRP

Figure 4. Columns of research after twisting with CFRP

منظور تعیین منحنی‌های بار-تغییر مکان نمونه‌ها، بار اعمالی در هر لحظه با استفاده از یک نیروسنج ۵۰۰۰ کیلونیوتونی به طور خودکار با استفاده از عدد مربوط به فشار روغن دستگاه ثبت گردید. در هنگام قرار گرفتن ستون‌ها در دستگاه دقیق کافی جهت اطمینان از اینکه ستون‌ها در مرکز جک قرار گرفته باشند، انجام شد. در شکل ۶ نحوه بارگذاری و شکست نمونه‌ها توسط جک هیدرولیکی ۵۰۰۰ کیلونیوتونی نمایش داده شده است.

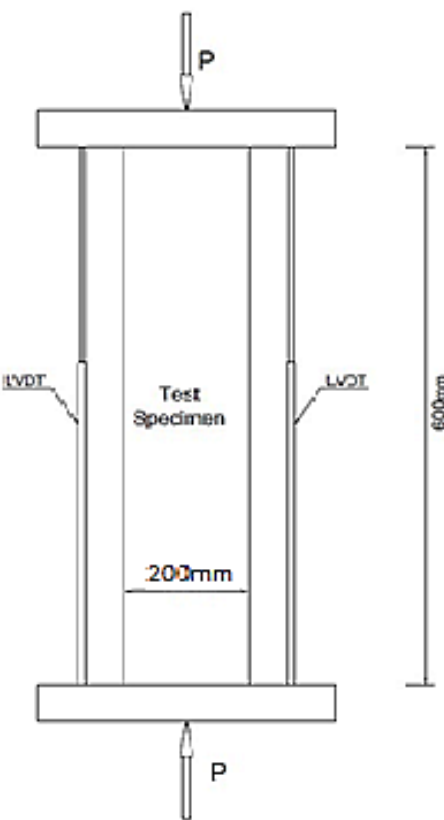
۴- تجزیه و تحلیل نتایج آزمایش‌ها

۴-۱- ظرفیت نهایی ستون‌ها

ستون‌ها توسط جک هیدرولیکی ۵۰۰۰ kN آزمایشگاه مکانیک خاک اداره کل راه و ترابری استان خوزستان تا لحظه شکست با سرعت ۱۰ بارگذاری شدن، ظرفیت و تغییر مکان نهایی ستون‌ها در جدول ۵ ارائه گردیده است.

طبق جدول ۵ و شکل ۷ مشهود است که استفاده از یک لایه و دو لایه دورپیچ در ستون‌های فاقد غلاف ساخته شده از بتن معمولی به ترتیب باعث افزایش ۲۹٪ و ۳۶٪ در ستون‌های ساخته شده از بتن پر مقاومت نیز باعث افزایش ۱۶٪ و ۴۱٪ در ستون‌های دارای غلاف و ساخته شده از بتن معمولی به ترتیب باعث افزایش ۱۰٪ و ۲۱٪ در ستون‌های با بتن پر مقاومت نیز باعث افزایش ۶٪ و ۱۶٪ در ظرفیت نهایی ستون‌ها شده است. بنابراین استفاده از دورپیچ جهت محصور کردن ستون‌های بتونی، می‌تواند اثر بسیار خوبی در ستون‌های دارای غلاف به علت وجود اثر محصوریت زیاد غلاف، تاثیر قابل توجهی ایجاد نمی‌کند، لذا در صورت استفاده از غلاف، استفاده از دورپیچ جهت مقاومسازی ستون‌های بتون آرمه اقتصادی نمی‌باشد. همچنین مشاهده گردید که اثر دورپیچ بر ظرفیت نهایی ستون‌های ساخته شده از بتن معمولی بیشتر است.

طبق شکل ۸ دیده می‌شود که استفاده از غلاف در مقایسه با دورپیچ بسیار موثرتر است، به طوری که استفاده از غلاف به طور میانگین باعث افزایش ۳۱۵٪ ظرفیت فشاری ستون‌ها در گروه بتن‌های معمولی و ۲۵۱٪ در گروه بتن‌های پر مقاومت شده است. در حالی که افزودن یک لایه و دو لایه دورپیچ در گروه بتن‌های معمولی به طور میانگین باعث افزایش ظرفیت فشاری به میزان ۱۹٪ و ۲۸٪ گردید و در گروه بتن‌های پر مقاومت به طور متوسط باعث افزایش به میزان ۱۱٪ و ۲۸٪ شده است.



شکل ۵. محل نصب جابجایی سنج‌های محوری

Fig. 5. Installation location of axial displacement meters

۳-۴- زمایش ستون‌ها

ستون‌های تحقیق حاضر، تحت بارگذاری فشاری تک محوری توسط جک هیدرولیکی با ظرفیت ۵۰۰۰ کیلونیوتون در آزمایشگاه مکانیک خاک اداره کل راه و ترابری استان خوزستان آزمایش شدند. آزمایش نمونه‌ها به روش کنترل تغییر شکل و با نرخ بارگذاری ۱۰ انجام شد [۳۷]. جهت تعیین تغییر شکل‌های محوری ستون‌ها، دو عدد جابجایی سنج^۱ در دو طرف ستون‌ها نصب شدند که در شکل ۵ محل نصب آن‌ها نشان داده شده است. اطلاعات مربوط به تغییر شکل‌های محوری ستون‌ها، در هر ثانیه با استفاده از دیتالاگر الکترونیکی^۲ متصل به کامپیوتر ثبت شدند. همچنین به

1 Linear Variable Differential Transducer (LVDT)

2 Electronic data-logger



شکل ۶. نحوه بارگذاری و شکست نمونه ها توسط جک هیدرولیکی kN ۵۰۰۰

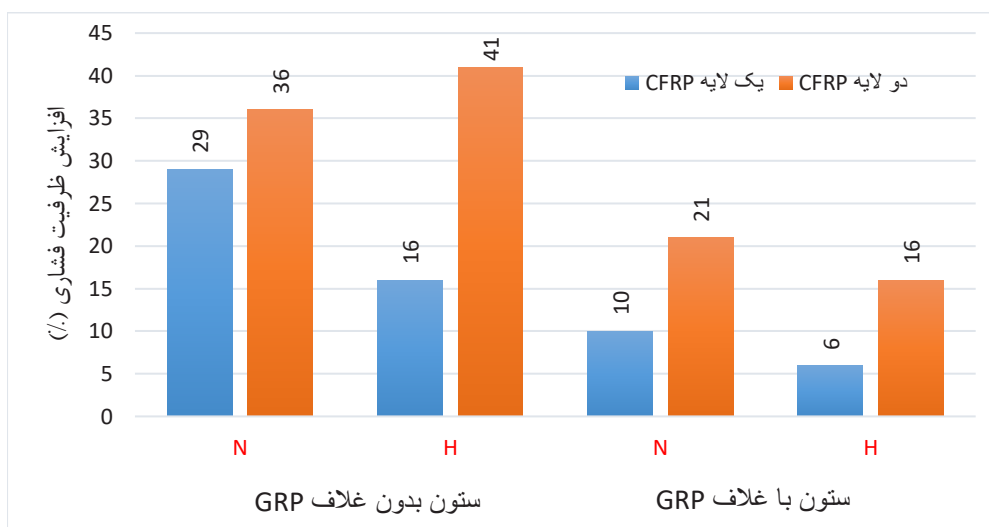
Fig. 6. How to load and break the specimens by 5000 kN hydraulic jack

جدول ۵. ظرفیت و تغییر مکان نهایی ستون های تحقیق

Table 5. Capacity and ultimate displacement of research columns

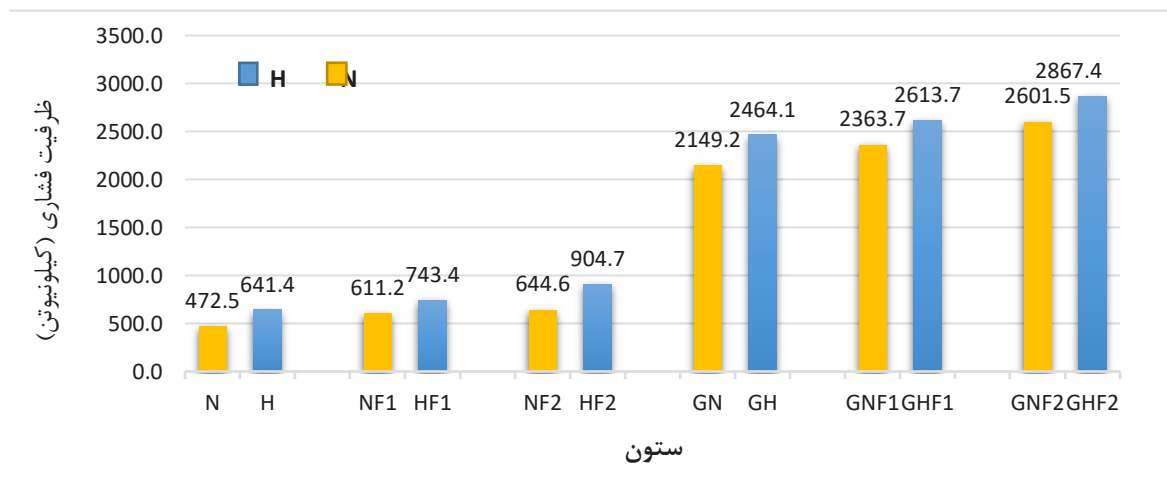
نام ستون	ظرفیت نهایی (kN)	*میانگین تغییر مکان های محوری (mm)
N	۴۷۲/۵	۱/۹
NF1	۶۱۱/۲	۲/۴
NF2	۶۴۴/۶	۲/۸
GN	۲۱۴۹/۲	۷/۹
GNF1	۲۳۶۳/۷	۹/۶
GNF2	۲۶۰۱/۵	۱۱/۷
H	۶۴۱/۴	۲/۴
HF1	۷۳۴/۴	۲/۸
HF2	۹۰۴/۷	۳/۲
GH	۲۴۶۴/۱	۹/۱
GHF1	۲۶۱۳/۷	۱۰/۶
GHF2	۲۸۶۷/۴	۱۲/۹

*: با توجه به استفاده از دو عدد جابجایی سنج در دو طرف ستون ها، میانگین تغییر مکان های محوری لحاظ شدند.



شکل ۷. تاثیر دورپیچ CFRP در افزایش ظرفیت فشاری ستون های تحقیق

Fig. 7. The effect of CFRP wrapping on increasing the compressive capacity of research columns

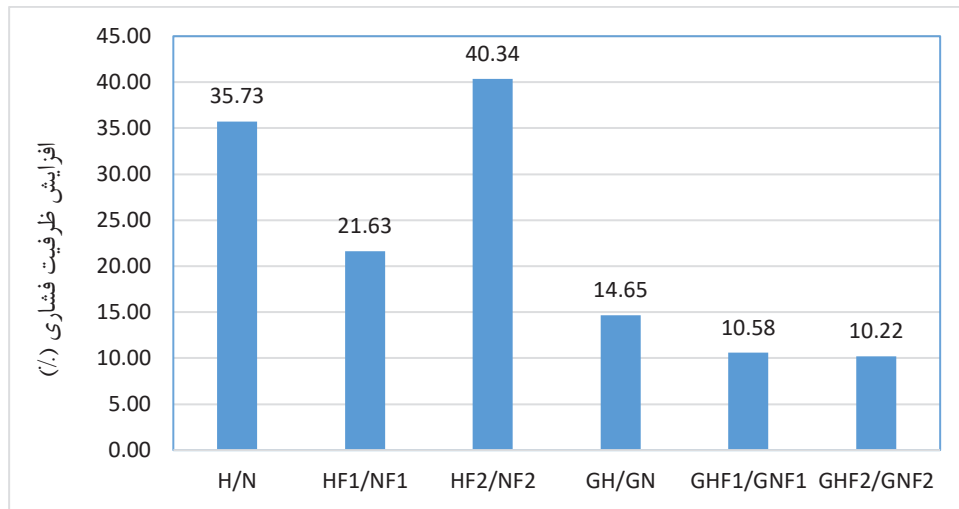


شکل ۸. ظرفیت فشاری ستون های تحقیق

Fig. 8. Compressive capacity of research columns

که تاثیر مقاومت فشاری بتن بر ظرفیت نهایی ستون های دارای غلاف به دلیل محصوریت زیاد این غلاف کمتر است. در شکل ۹ افزایش ظرفیت فشاری ستون های ساخته شده از بتن پر مقاومت نشان می دهد که ستون های ساخته شده از بتن

بررسی و مقایسه بین ظرفیت نهایی ستون های ساخته شده از بتن معمولی و بتن پر مقاومت نشان می دهد که ستون های ساخته شده از بتن پر مقاومت دارای ظرفیت فشاری بیشتری هستند. به طور میانگین در ستون های فاقد غلاف به میزان $32/6\%$ و در ستون های دارای غلاف به میزان $11/8\%$ افزایش ظرفیت فشاری وجود دارد. این مقایسه نشان می دهد



شکل ۹. درصد افزایش ظرفیت فشاری ستون های ساخته شده از بتن پر مقاومت نسبت به نوع ساخته شده از بتن معمولی

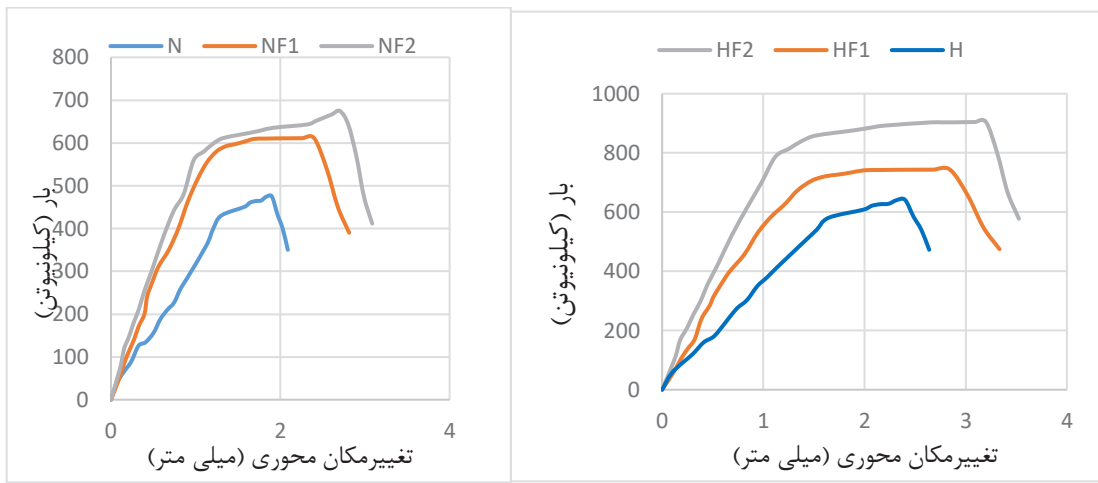
Fig. 9. Percentage increase in compressive capacity of columns made of high-strength concrete compared to the type made of ordinary concretea) Columns made of ordinary concrete; b) Columns made of high- strength concrete

۴-۲- منحنی های بار - تغییر مکان ستون ها

به منظور مقایسه رفتار ستون ها، منحنی های بار- تغییر مکان مربوط به تغییر مکان محوری ستون های با و بدون غلاف در اشکال ۱۰ و ۱۱ نشان داده شده است.

بر اساس منحنی های بار- تغییر مکان محوری ستون ها ملاحظه می شود که با دورپیچ نمودن ستون های بتن مسلح بیضی شکل با CFRP، تغییر مکان های محوری آن ها افزایش یافته است؛ همچنین میزان تحمل فشار در این ستون ها به طور قابل ملاحظه ای زیاد شده است. بررسی دقیق تر منحنی های بار- تغییر مکان محوری ستون های فاقد غلاف نشان می دهد که این منحنی ها از دو قسمت سخت شونده خطی و نرم شونده غیرخطی تشکیل شده اند، تغییر رفتار ستون ها ناگهانی بوده و نشان از ایجاد ترک های فشاری در بتن و شروع به کار دورپیچ دارد. همچنین منحنی های بار- تغییر مکان محوری ستون های دارای غلاف از دو قسمت سخت شونده خطی و نرم شونده غیرخطی تشکیل شده اند، ولی تغییر رفتار ستون ها تدریجی بوده که علت آن را می توان در پیوستگی کامل و محصوریت بیشتر غلاف با ستون بتی دانست. همچنین مشهود است که دورپیچ نمودن ستون ها با CFRP باعث افزایش سختی ستون و کاهش تغییر مکان محوری آن ها شده است که علت آن را می توان ناشی از ایجاد محصوریت تو سط دورپیچ است.

مقایسه تغییر مکان محوری نهايی در ستون های بتن مسلح بیضی شکل فاقد غلاف نشان می دهد که استفاده از یک لایه و دو لایه دورپیچ به ترتیب باعث افزایش $\frac{23}{7}\%$ و $\frac{42}{9}\%$ در ستون های ساخته شده از بتن معمولی و $\frac{20}{7}\%$ و $\frac{35}{8}\%$ در ستون های ساخته شده از بتن پر مقاومت شده است. در حالی که در ستون های دارای غلاف، این میزان افزایش برای ستون های با بتن معمولی $\frac{21}{6}\%$ و $\frac{48}{3}\%$ و در ستون های با بتن پر مقاومت $\frac{16}{8}\%$ و $\frac{41}{7}\%$ می باشند. لذا مشهود است که استفاده از دورپیچ جهت محصور کردن ستون های بتی باعث افزایش تغییر مکان محوری نهايی ستون ها می شود، که این تأثیر در ستون های دارای غلاف به دلیل اثر زیادتر محصوریت غلاف مذکور بیشتر می باشد. همچنین مقایسه اثر محصوریت غلاف با دورپیچ در تغییر مکان محوری نهايی ستون ها نشان می دهد که غلاف بسیار موثر تر است. به عنوان مثال در ستون های با بتن معمولی استفاده از غلاف بدون استفاده از دورپیچ به میزان 31% افزایش در تغییر مکان محوری نهايی ستون ها ایجاد نموده، در حالی که استفاده از یک لایه و دو لایه دورپیچ به ترتیب باعث افزایش تغییر مکان محوری نهايی به میزان $\frac{23}{7}\%$ و $\frac{42}{9}\%$ شده است. تأثیر زیاد غلاف لوله ها در ایجاد تغییر مکان محوری نهايی را می توان در ساختار این لوله ها و وجود الیاف در ساخت آن ها دانست. بنابراین استفاده از غلاف در مناطقی که نیاز به طراحی شکل پذیر دارند، می تواند بسیار مفید واقع گردد.

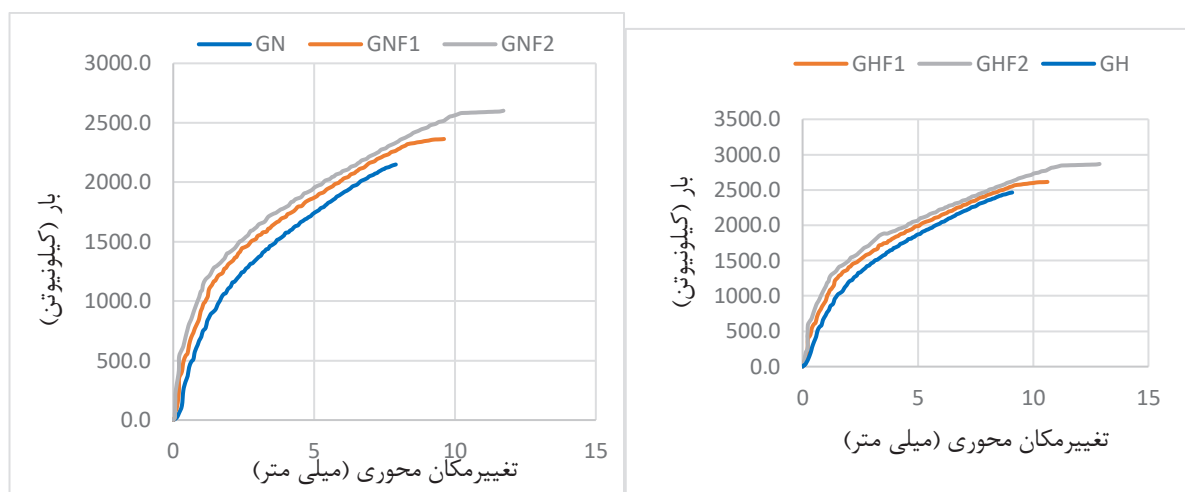


(الف) ستون های ساخته شده از بتن معمولی

(ب) ستون های ساخته شده از بتن پر مقاومت

شکل ۱۰. منحنی بار-تغییر مکان محوری ستون های فاقد غلاف GRP

Fig. 10. Load - axial displacement curve of columns without GRP casing
a) Columns made of ordinary concrete; b) Columns made of high- strength concrete



(الف) ستون های ساخته شده از بتن پر مقاومت

(ب) ستون های ساخته شده از بتن پر مقاومت

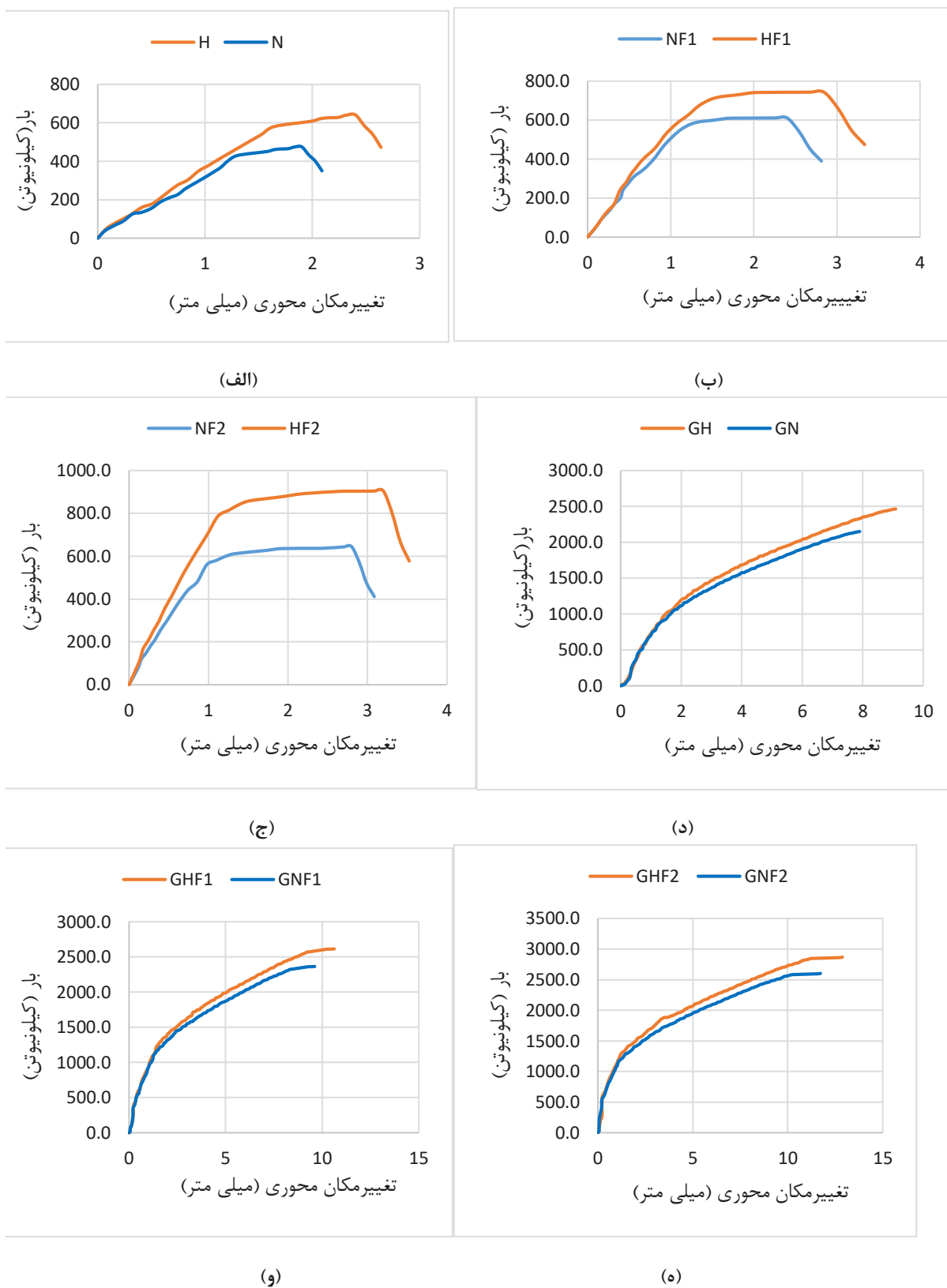
شکل ۱۱. منحنی بار-تغییر مکان محوری ستون های دارای غلاف GRP

Fig. 11. Load - axial displacement curve of columns with GRP casing

داده شده‌اند.

به منظور مقایسه رفتار ستون‌ها، منحنی‌های بار-تغییر مکان محوری

آن‌ها جهت بررسی تأثیر نوع بتن مصرفی در ساخت، در شکل ۱۲ نمایش



شکل ۱۲. منحنی های بار-تغییر مکان محوری برای ستون های ساخته شده از بتن های معمولی و پر مقاومت (الف) ستون های N و H (ب) ستون های GFH2 و GNF1 (ج) ستون های GFH1 و GH (د) ستون های NF2 و HF2 (ه) ستون های GFH2 و GNF2 (و) ستون های GFH1 و GHF1 (ه) ستون های GFH2 و GNF2a) ستون های معمولی بتن؛ ب) ستون های پر مقاومت بتن

Fig.12. Load - axial displacement curves for columns made of ordinary and high-strength concrete((a) N and H columns (b) NF1 and HF1 columns (c) NF2 and HF2 columns (d) GN and GH columns (e) GNF1 and GFH1 columns (f) Column GNF2 and GFH2a) Columns made of ordinary concrete; b) Columns made of high- strength concrete



(الف) ستون های ساخته شده از بتن معمولی



(ب) ستون های ساخته شده از بتن پر مقاومت

شکل ۱۳. نحوه گسیختگی ستون ها پس از اعمال بارگذاری

Fig. 13. How the columns break after loading

نشدن شبکه میلگردها و افزایش باربری ستون‌ها شد. گسیختگی و تخریب در ستون‌های NF2 و HF2 مشابه ستون‌های محصور شده با یک لایه دورپیچ بود. عموماً در ستون‌های فاقد غلاف، گسیختگی به صورت تدریجی و نرم اتفاق افتاد. در این ستون‌ها با افزایش فشار و شروع ترک‌های فشاری انبساط جانبی به تدریج در بتن آن‌ها رخ داد. در ستون‌های با دورپیچ، نیروی ناشی از محصوریت باعث جلوگیری از گسیختگی زودهنگام شد و نتیجتاً با افزایش نیروی فشاری و رشد ترک‌ها، ورق دورپیچ دچار پارگی شد و ستون گسیخته شد. در ستون‌های با غلاف نحوه گسیختگی متفاوت با ستون‌های بدون غلاف بود. در ستون GN گسیختگی کامل و به صورت انهدام با صدای انفجار در امتداد محور طولی و در سراسر طول ستون اتفاق افتاد؛ ولی در ستون GH گسیختگی به علت پارگی میلگردهای مارپیچ در نیمه بالای ستون و کمانش میلگردهای طولی در این محل و گسیخته

۴-۳- بررسی نحوه گسیختگی ستون‌ها
گسیختگی ستون‌ها در شکل ۱۳ ارائه شده است. در ستون‌های فاقد غلاف گسیختگی اکثراً به علت کمانش میلگردهای ستون، به صورت موضعی و به تدریج اتفاق افتاد. در این ستون‌ها گسیختگی در یکی از دو انتهای ستون‌ها از سوی شبکه میلگردها دانست. در ستون‌های فاقد هرگونه محصوریت (ستون‌های N و H)، ستون‌ها به علت ایجاد ترک‌های فشاری در بتن بالا و پایین خود و نهایتاً جدا شدن قطعاتی از بتن در این قسمت‌ها و کمانش میلگردهای طولی، گسیخته شدند. در ستون‌های NF1 و HF1 با یک لایه دورپیچ، گسیختگی نیز به ترتیب در بالا و پایین آن‌ها به علت خرد شدن بتن و پارگی دورپیچ اتفاق افتاد. در این ستون‌ها برخلاف ستون‌های قلی محصوریت ناشی از دورپیچ باعث خردشدنی کمتر بتن و گسیخته

در مدل مذکور برای تعیین فشار محصور شدگی معادل (f_l)، برای ستون‌های دایروی این مقدار برابر واحد در نظر گرفته شد تا بتوان از آن برای تعیین و مقایسه این مقدار با مقاطع غیردایروی که به همین میزان دورپیچ دارند، استفاده کرد. مساحت یک بیضی برابر با πab می‌باشد و محیط آن تقریباً به مقدار $\pi[1.5(a + b) - \sqrt{ab}]$ نزدیک می‌باشد. بنابراین نسبت حجمی دورپیچ برای ستون بیضوی که با دورپیچ به ضخامت t_{frp} روکش شده است، از رابطه ۳ به دست می‌آید:

$$\rho_{frp} = \frac{t_{frp}[1.5(a + b) - \sqrt{ab}]}{ab} \quad (3)$$

که a و b نصف قطرهای بیضی می‌باشند، بنابراین فشار محصور شدگی معادل از رابطه (۴) قابل محاسبه خواهد بود:

$$f_l = \frac{f_{frp}\rho_{frp}}{2} = \frac{t_{frp}[1.5(a + b) - \sqrt{ab}]f_{frp}}{2ab} \quad (4)$$

بنابراین ظرفیت محوری نهایی ستون‌های بتن‌آرمه بیضی شکل با غلاف دورپیچ طبق آئین نامه BS810 [۳۹] از رابطه (۵) به دست می‌آید: در رابطه (۵) γ_s , γ_c , A_c , A_{sc} و γ_{frp} به ترتیب بیانگر سطح مقطع میلگردهای طولی، سطح مقطع بتن، ضریب جزئی ایمنی بتن، ضریب جزئی ایمنی فولاد و ضریب جزئی ایمنی دورپیچ می‌باشند. با جایگذاری مشخصات کامپوزیت‌های مصرفی تحقیق در روابط بالا و با تجمیع اثرات غلاف و دورپیچ در ستون‌های ترکیبی، مقایسه نتایج آزمایشگاهی با روابط فوق در جدول ۶ و شکل ۱۴ داده شده است. نتایج داده شده در جدول ۶ نشان می‌دهند که همخوانی خوبی بین نتایج تحقیق و روابط آئین نامه‌ای وجود دارد.

$$P_u = \left(\frac{0.67}{\gamma_c} f'_{co} + \frac{k_1 k_s f_l}{\gamma_{frp}} \right) A_c + \frac{\gamma_y A_{sc}}{\gamma_s} \quad (5)$$

غلاف به صورت موضعی رخ داد. در ستون‌های GNF1 و GNF2 گسیختگی مشابه ستون GN بود، با این تفاوت که محصوریت بیشتر ناشی از لایه دورپیچ باعث شد تا بتن ستون‌ها تعییر شکل فشاری بیشتری تحمل کنند، و نهایتاً در یک سوم پایینی با کمانش میلگردهای طولی و قطع میلگردهای مارپیچ گسیخته شوند. در ستون‌های GNF2 و GNF1 نیز گسیختگی مشابه ستون‌های با یک لایه دورپیچ بود، با این تفاوت که محصوریت زیادتر ناشی از دو لایه دورپیچ باعث شد تا گسیختگی به صورت کلی و به ترتیب در میانه و نیمه پایینی ستون‌ها با وقوع کمانش میلگردهای طولی و قطع میلگردهای مارپیچ انفاق افتاد. عموماً علت گسیختگی کامل و آنی ستون‌های با غلاف را می‌توان در میزان بسیار زیاد محصوریت ناشی از غلاف دانست، که این میزان محصوریت باعث رسیدن تمام نقاط ستون به حداکثر تعییر مکان قابل تحمل خود و همچنین کمانش میلگردهای طولی و نهایتاً گسیختگی ستون گردید.

۴-۴-۱- تحلیل نتایج تحقیق

۴-۴-۱- مقایسه نتایج با روابط آئین نامه‌ای تاکنون روابط متعددی برای محاسبه ظرفیت فشاری بتن محصور شده با دورپیچ و همچنین ظرفیت نهایی ستون‌های مقاوم‌سازی شده با غلاف و دورپیچ پیشنهاد شده است که از آن جمله می‌توان به مدل لام و تنگ [۲۰] به صورت رابطه (۱) اشاره کرد. در این رابطه f_l , f'_{co} و f'_{cc} به ترتیب بیانگر ظرفیت فشاری بتن محصور نشده، ظرفیت فشاری بتن محصور شده و فشار محصور شدگی معادل می‌باشند.

$$f'_{cc} = f'_{co} + k_1 k_s f_l \quad (1)$$

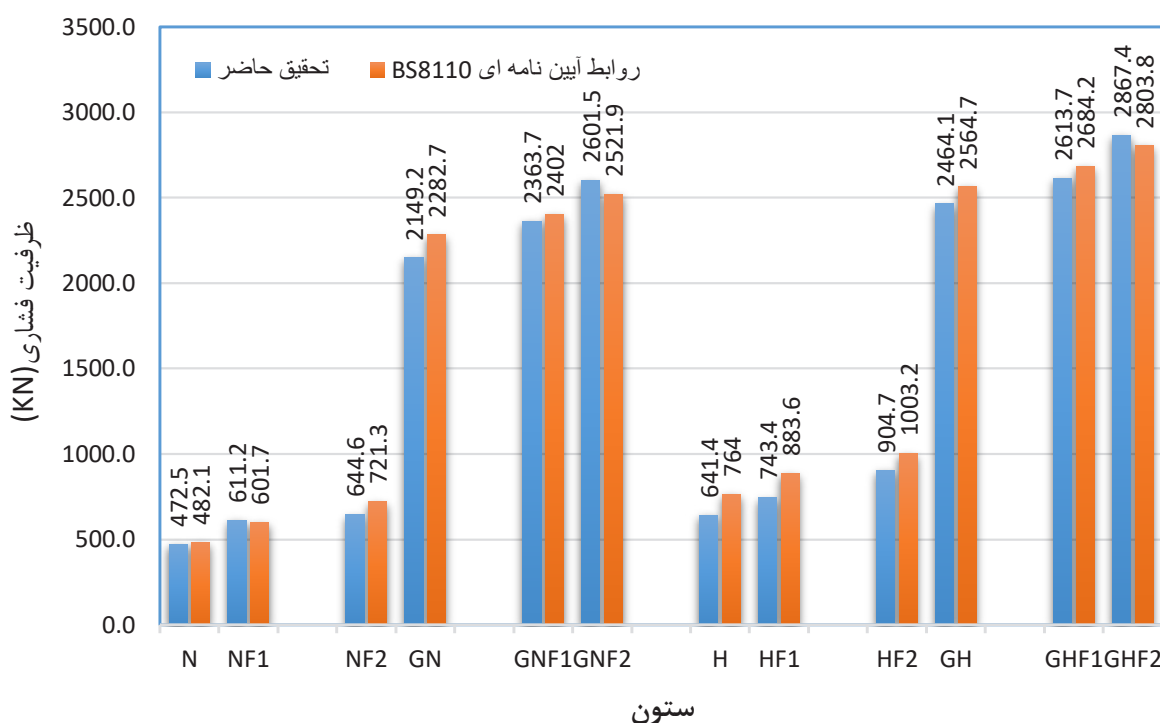
همچنین در رابطه (۱)، k_1 ضریب تأثیر محصور شدگی است که طبق پیشنهاد لام و تنگ برابر ۲ می‌باشد. ضریب k_s با استفاده از معادله ساده ۲ به دست می‌آید:

$$k_s = \left(\frac{b}{a} \right)^2 \quad (2)$$

جدول ۶. مقایسه ظرفیت فشاری آزمایشگاهی ستون های تحقیق با آین نامه [39] BS 8110

Table 6. Comparison of laboratory compressive capacity of research columns with BS 8110 [39]

نام ستون	ظرفیت فشاری بن مخصوص نشده	ظرفیت فشاری بن مخصوص شد	ظرفیت نهایی ستون محصور شده	ظرفیت نهایی آزمایشگاهی $P_{exp}(kN)$	$\frac{P_u - P_{exp}}{P_{exp}}$ (%)
	$f'_{co}(MPa)$	$f'_{cc}(MPa)$	$P_u(kN)$		
N	۳۲/۳	۳۲/۳	۴۸۲/۱	۴۷۲/۵	۲/۰
NF1	۳۲/۳	۴۰/۲	۶۰۱/۷	۶۱۱/۲	-۱/۶
NF2	۳۲/۳	۴۸/۱۶	۷۲۱/۳	۶۴۴/۶	۱۱/۹
GN	۳۲/۳	۱۵۱/۸	۲۲۸۲/۷	۲۱۴۹/۲	۶/۲
GNF1	۳۲/۳	۱۵۹/۷	۲۴۰۲/۰	۲۳۶۳/۷	۱/۶
GNF2	۳۲/۳	۱۶۷/۶	۲۵۲۱/۹	۲۶۰۱/۵	-۳/۰
H	۶۵/۸	۶۵/۸	۷۶۴/۰	۶۴۱/۴	۱۹/۱
HF1	۶۵/۸	۷۳/۷	۸۳۳/۶	۷۴۳/۴	۱۸/۹
HF2	۶۵/۸	۸۱/۷	۱۰۰۳/۲	۹۰۴/۷	۱۰/۹
GH	۶۵/۸	۱۸۵/۳	۲۵۶۴/۷	۲۴۶۴/۱	۴/۱
GHF1	۶۵/۸	۱۹۳/۲	۲۶۸۴/۲	۲۶۱۳/۷	۲/۷
GHF2	۶۵/۸	۲۰۱/۱	۲۸۰۳/۸	۲۸۶۷/۴	-۲/۲



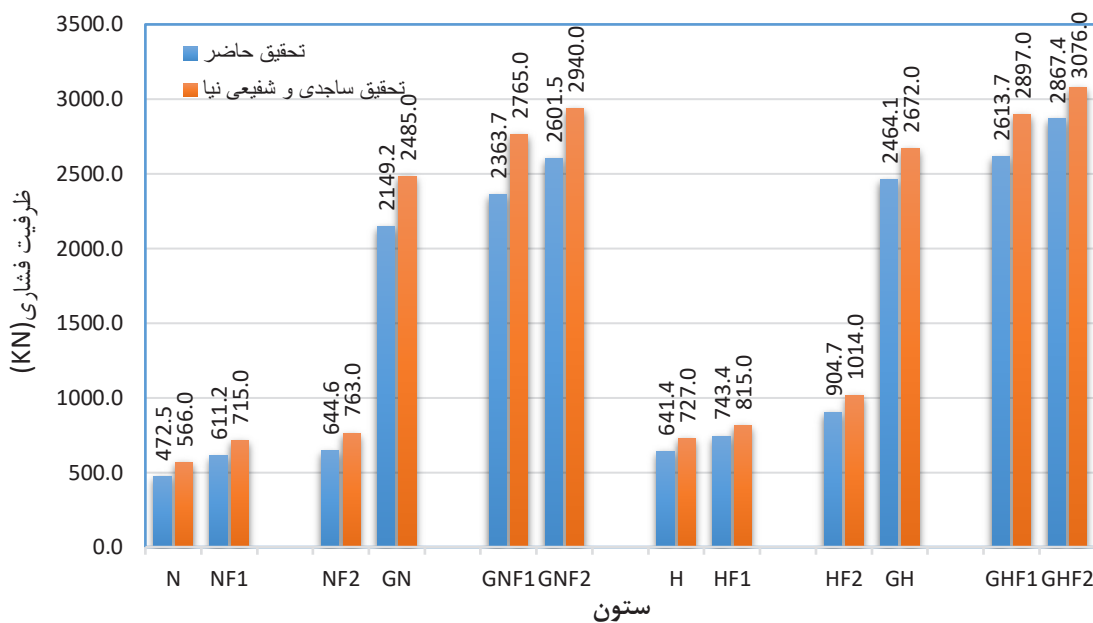
شکل ۱۴. مقایسه ظرفیت فشاری آزمایشگاهی ستون های تحقیق با روابط آین نامه [۳۹] BS 8110

Fig. 14. Comparison of laboratory compressive capacity of research columns with the relationships of BS 8110 [39]

جدول ۷. مقایسه ظرفیت فشاری نهایی ستون های تحقیق با نتایج آزمایشگاهی ساجدی و شفیعی نیا [۴۰]

Table 7. Comparison of ultimate compressive capacity of research columns with Sajedi and Shafieinia laboratory results [40]

ستون	$P_u(kN)$ [۴۰]	تحقیق [۴۰]	تحقیق حاضر(kN)	(%) $\frac{P_{exp} - P_u}{P_{exp}}$
N	۵۶۶/۰		۴۷۲/۵	-۱۹/۸
NF1	۷۱۵/۰		۶۱۱/۲	-۱۷/۰
NF2	۷۶۳/۰		۶۴۴/۶	-۱۸/۴
GN	۲۴۸۵/۰		۲۱۴۹/۲	-۱۵/۶
GNF1	۲۷۶۵/۰		۲۳۶۳/۷	-۱۷/۰
GNF2	۲۹۴۰/۰		۲۶۰۱/۵	-۱۳/۰
H	۷۲۷/۰		۶۴۱/۴	-۱۳/۳
HF1	۸۱۵/۰		۷۴۳/۴	-۹/۶
HF2	۱۰۱۴/۰		۹۰۴/۷	-۱۲/۱
GH	۲۶۷۲/۰		۲۴۶۴/۱	-۸/۴
GHF1	۲۸۹۷/۰		۲۶۱۳/۷	-۱۰/۸
GHF2	۳۰۷۶/۰		۲۸۶۷/۴	-۷/۳



شکل ۱۵. مقایسه ظرفیت فشاری نهایی ستون های تحقیق با نتایج آزمایشگاهی ساجدی و شفیعی نیا [۴۰]

Fig15.Comparison of ultimate compressive capacity of research columns with laboratory results of Sajedi and Shafieinia [40]

میانگین مقاومت فشاری ۲۸ روزه نمونه استوانه‌ای به ترتیب ۳۲/۷ و ۶۳/۱ مگاپاسکال انجام دادند [۴۰]. مقایسه ظرفیت فشاری نهایی ستون‌های این تحقیق با نتایج آزمایشگاهی تحقیق مذکور در جدول ۷ و شکل ۱۵ ارائه گردیده است.

۴-۲-۴- مقایسه نتایج با سایر تحقیقات ساجدی و شفیعی نیا تحقیقی مشابه روی ۱۲ ستون بتن مسلح دایره‌ای به قطر ۱۵۰ و ارتفاع ۶۰۰ میلی‌متر و میزان میلگرد طولی ۰.۲٪ سطح مقطع ناخالص ستون با گروه‌بندی مشابه و کاربرد بتن‌های معمولی و پر مقاومت با

جدول ۸. مقایسه ظرفیت فشاری نهایی ستون های تحقیق با نتایج آزمایشگاهی لام و تنگ [۲۰]

Table 8. Comparison of final compressive capacity of research columns with Lam and Tang laboratory results [20]

نام ستون	ظرفیت نهایی تحقیق حاضر $P_u(kN)$	ظرفیت نهایی تحقیق لام و تنگ $P_{exp}(kN)$	$\frac{P_{exp} - P_u}{P_{exp}} \times 100\%$
H	۴۷۵/۰	۶۴۱/۴	۲۵/۹
HF1	۷۴۸/۰	۷۴۳/۴	-۰/۶
HF2	۸۷۰/۰	۹۰۴/۷	۱۳/۸

جدول ۹. مقایسه تغییر مکان محوری نهایی ستون های تحقیق با نتایج عددی تحقیق ساجدی و شریعتی [۴۱]

Table 9. Comparison of the ultimate axial displacement of research columns with numerical results of Sajedi and Shariati research [41]

نام ستون	تغییر مکان محوری نهایی تحقیق حاضر $d_u(mm)$	تغییر مکان محوری نهایی تحقیق ساجدی و شریعتی [۴۱] $d_{exp}(mm)$	$\frac{d_{exp} - d_u}{d_{exp}} \times 100\%$
N	۲/۱	۱/۹	-۸/۹
NF1	۲/۵	۲/۴	-۴/۸
NF2	۲/۹	۲/۸	-۵/۳
GN	۸/۱	۷/۹	-۲/۵
GNF1	۹/۰	۹/۶	۶/۴
GNF2	۱۰/۱	۱۱/۷	۱۳/۸
H	۲/۷	۲/۴	-۱۴/۶
HF1	۲/۹	۲/۸	-۲/۰
HF2	۳/۱	۳/۲	۳/۱
GH	۸/۹	۹/۱	۲/۱
GHF1	۹/۸	۱۰/۶	۷/۷
GHF2	۱۰/۵	۱۲/۹	۱۸/۵

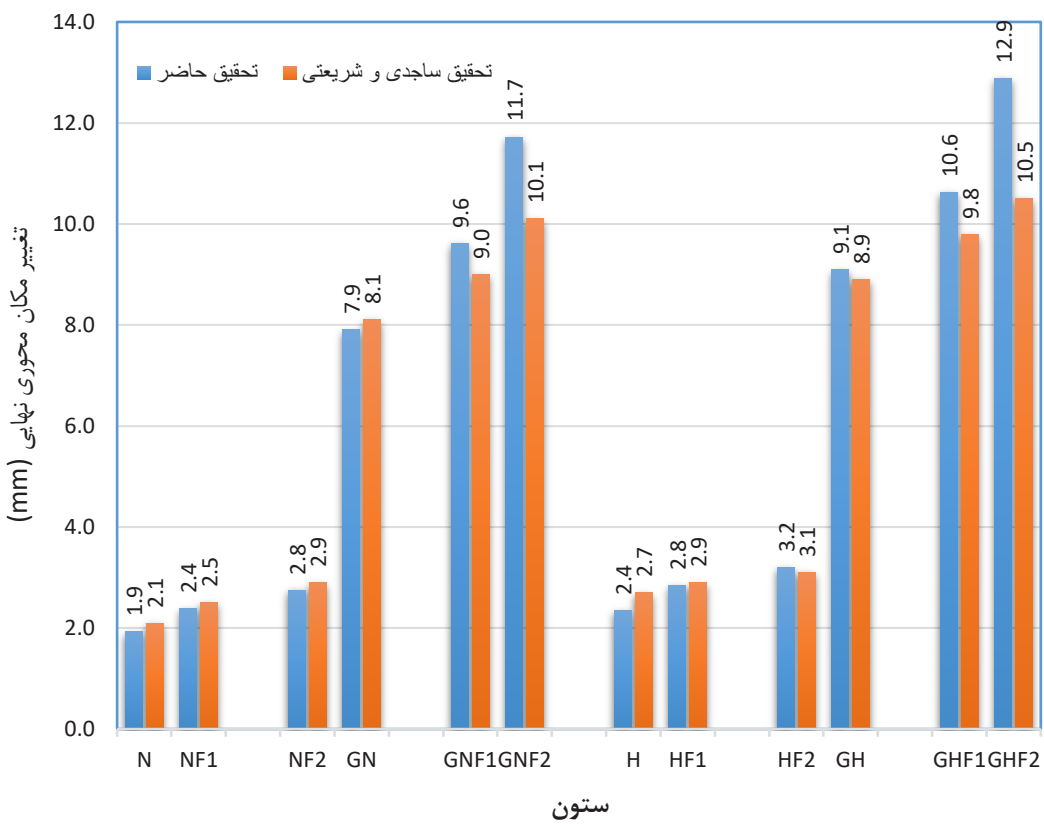
ستون های این تحقیق با نتایج آزمایشگاهی تحقیق لام و تنگ به طور نسبی همخوانی خوبی دارند.

ساجدی و شریعتی تحقیقی مشابه روی ۱۲ ستون بتن مسلح با مقطع دایره ای به قطر ۱۵۰ و ارتفاع ۶۰۰ میلی متر با گروه بندی مشابه و ساخته شده از بتن های معمولی و پر مقاومت با میانگین مقاومت فشاری در سن ۲۸ روزه نمونه استوانه ای به ترتیب به مقدار ۳۲/۷ و ۶۳/۱ مگاپاسکال انجام دادند مدل سازی با روش عددی اجزاء محدود به کمک نرم افزار آباکوس^۱ انجام گردید [۴۱]. مقایسه تغییر مکان محوری نهایی ستون های این تحقیق با نتایج عددی تحقیق مذکور در جدول ۹ و شکل ۱۶ ارائه گردیده است.

نتایج جدول ۷ نشان می دهد که ظرفیت فشاری نهایی ستون های این تحقیق با نتایج آزمایشگاهی تحقیق ساجدی و شریعتی نیا بر اساس نتایج مدل لام و تنگ [۲۰] و همچنین میرمیران و همکاران [۱۲] که معتقدند تاثیر محصور کنندگی دوربیچ در مقاطع بتنی غیر دایروی نسبت به مقاطع دایروی تا حدی کمتر است، همخوانی خوبی دارند.

لام و تنگ تحقیقی مشابه روی ستون های بتن مسلح با مقطع بیضی با قطرهای ۱۹۴/۸ و ۱۱۵/۹ و ارتفاع ۶۰۳ میلی متر و ساخته شده از بتن های با مقاومت فشاری در سن ۲۸ روزه به مقدار ۴۷/۱، ۴۶/۶ و ۴۵/۸ مگاپاسکال انجام دادند [۲۰]. مقایسه ظرفیت فشاری نهایی ستون های این تحقیق با نتایج آزمایشگاهی تحقیق مذکور در جدول ۸ ارائه گردیده است.

نتایج ارائه شده در جدول ۸ نشان می دهند که ظرفیت فشاری نهایی



شکل ۱۶. مقایسه تغییر مکان محوری نهایی ستون های تحقیق با نتایج عددی تحقیق ساجدی و شریعتی [۴۱]

Fig. 16. Comparison of the ultimate axial displacement of research columns with numerical results of Sajedi and Shariati [41]

به ضلع ۱۳۳ و ارتفاع ۵۰۰ میلیمتر با خروج از مرکزیت صفر و ۳۰ میلیمتر آزمایش شدند. بر اساس نتایج آزمایشگاهی، محصور شدگی ستون‌ها باعث افزایش ظرفیت باربری آن‌ها گردید. میزان افزایش ظرفیت باربری مربوط به خروج از مرکزیت‌های صفر و ۳۰ میلیمتر به ترتیب $28/2\%$ و $27/1\%$ بود. همچنین نتایج تحقیق آن‌ها نشان داد که محصور کردن ستون‌ها با دوربیچ CFRP باعث افزایش شکل‌پذیری ستون‌ها می‌شود [۴۳]. در تحقیق حاضر میزان افزایش ظرفیت فشاری نهایی ستون‌های محصور شده با دوربیچ CFRP ۱۶٪ است که علت اختلاف آن با نتایج تحقیق مستوفی‌نژاد و همکاران را می‌توان در شکل مقطع و مقاومت فشاری بتن‌های مصرفی دانست. مقاطع طولی و عرضی ستون‌های تحقیق مستوفی‌نژاد و همکاران در شکل ۱۷ داده شده‌اند.

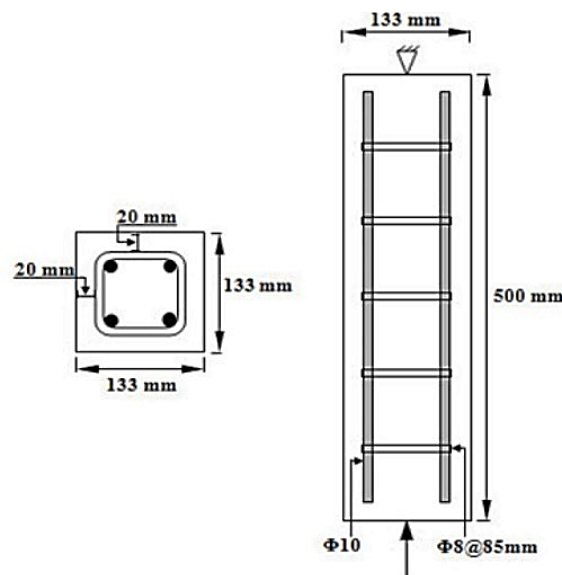
نتایج داده شده در جدول ۹ نشان می‌دهند که تغییر مکان نهایی ستون‌های این تحقیق با نتایج عددی حاصل از تحقیق ساجدی و شریعتی همخوانی خوبی دارند.

حسینیان و همکاران^۱ تحقیقی روی رفتار فشاری سازه‌ای و طراحی لوله‌های فولادی کوتاه بیضی شکل پرشه از بتن پر مقاومت انجام دادند. نتایج نشان داد که افزایش مقاومت فشاری بتن، ظرفیت ستون را به طور قابل توجهی افزایش می‌دهد [۴۲]. نتایج تحقیق حاضر با تحقیق حسنیان و همکاران همخوانی خوبی دارند. مستوفی‌نژاد و همکاران در سال ۱۳۹۳ به بررسی رفتار محوری ستون‌های بتن مسلح با مقطع مربعی و محصور شده با دوربیچ CFRP پرداختند. در این تحقیق ۴ نمونه ستون مربعی بتن آرمه

ستون‌ها در نرم‌افزار انسیس^۲ مدل‌سازی گردیدند و اثر سطح مقطع و تعداد لایه‌های کامپوزیتی در ظرفیت ستون‌ها بررسی گردید. آن‌ها به این نتیجه رسیدند که در تمام ستون‌ها دوربیچ کردن آن‌ها با یک لایه CFRP تاثیر فراوانی بر ظرفیت نهایی خواهد داشت، اما افزودن لایه دوم تاثیر چندانی بر افزایش ظرفیت باربری ستون نخواهد داشت. ستون‌های دایره‌ای در مجموع عملکرد بهتری نسبت به ستون‌های مربعی داشتند [۴۵]. در تحقیق حاضر افزودن لایه اول دوربیچ باعث افزایش ظرفیت نهایی فشاری در ستون‌ها به میزان ۱۱٪ و افزودن لایه دوم نسبت به لایه اول به میزان ۱۶٪ گردید که همخوانی خوبی با نتایج تحقیق شابختی و همکاران دارد.

پوراهوازی و گندمکار در سال ۱۳۹۵ تحقیقی عددی بر رفتار ستون‌های فولادی بیضوی پر شده با بتن تحت نیروی فشاری محوری انجام دادند. رفتار فشاری ستون مرکب با مقطع بیضوی پر شده با بتن مورد بررسی قرار گرفت. ضمن مدل‌سازی ستون‌های کوتاه توخالی و توپر با و بدون سخت کننده، مقایسه ظرفیت باربری نهایی و شکل‌پذیری ستون‌های مذکور با مقطع دایره‌ای همارز آن‌ها (دو مقطع با سطح مقطع یکسان) و تاثیر پارامترهای ضخامت جداره لوله، مساحت مقطع و رده بتن بر رفتار آن‌ها بررسی گردیدند. مدل‌سازی با روش عددی اجزاء محدود به کمک نرم‌افزار آباکوس^۳ و تحلیل استاتیکی غیرخطی و با الگوی بار خطی انجام گردید. نتایج تحقیق آن‌ها نشان داد که در شرایط یکسان، ستون‌های لوله‌ای با مقطع دایره‌ای ظرفیت باربری و شاخص شکل‌پذیری بیشتری نسبت به مقطع بیضوی همارز خود دارند. استفاده از سخت کننده طولی باعث افزایش ظرفیت باربری نهایی به میزان ۱۰٪ گردید [۴۶]. نتایج تحقیق حاضر با نتایج تحقیق مذکور از منظر کاهش ظرفیت فشاری و شکل‌پذیری مقاطع بیضوی نسبت به دایروی همخوانی خوبی دارند.

کوماتا و همکاران^۴ در سال ۲۰۱۴ تحقیقی آزمایشگاهی بر رفتار ستون‌های مستطیلی به ارتفاع ۷۵۰ میلی‌متر تحت بار محوری خالص که با یک لایه و دو لایه دوربیچ CFRP محسور شده بودند، انجام دادند. در این تحقیق ۹ ستون مستطیلی با نسبت ابعاد مقطع ۱/۲۵، ۱/۶۷ و ۱/۱۶۷ از دوربیچ مقاوم‌سازی شدند و اثر دوربیچ بر ظرفیت نهایی ستون‌ها بررسی گردید. در این تحقیق ستون‌ها به وسیله ۴ میلگرد آجادار طولی به قطر ۱۰ و خاموت به قطر ۶ و با فاصله ۱۲۵ میلی‌متر مسلح شده بودند و مقاومت فشاری بتن ۲۷/۵ مگاپاسکال بود. نتایج نشان داد که استفاده از یک لایه



شکل ۱۷. مقاطع طولی و عرضی ستون‌های استفاده شده در تحقیق مستوفی نژاد و همکاران [۴۳]

Fig. 17. Longitudinal and transverse sections of research columns used in the research of Mostafinejad et al. [43]

پارک و همکاران^۱ در سال ۲۰۰۹ تحقیقی آزمایشگاهی بر روی ستون‌های بتن مسلح با غلاف CFRP تحت بارهای محوری فشاری انجام دادند. در این تحقیق ۴ ستون بتنی به قطر ۳۰۰ و ارتفاع ۶۰۰ میلی‌متر تحت بار محوری فشاری آزمایش شدند، که از این ستون‌ها یکی فاقد غلاف و سه‌تای دیگر دارای غلاف به ضخامت‌های ۱/۲۵، ۲/۵ و ۵ میلی‌متر بودند. نتایج تحقیق نشان داد که محسور نمودن ستون‌های بتن مسلح با استفاده از غلاف CFRP باعث بهبود ظرفیت و شکل‌پذیری می‌شود، به طوری که ظرفیت فشاری نهایی در ستون‌های دارای غلاف به ضخامت‌های ۱/۲۵ و ۲/۵ میلی‌متر به ترتیب ۶۸٪، ۱۴۵٪ و ۲۱۹٪ نسبت به ستون‌های فاقد غلاف افزایش یافتند [۴۴]. این میزان افزایش ظرفیت نهایی در تحقیق حاضر ۲۵۱٪ است که علت اختلاف ظرفیت آن‌ها را می‌توان در تفاوت جنس غلاف و دوربیچ و ضخامت‌ها دانست. در شکل ۱۸ مقطع نمونه‌های تحقیق پارک و همکاران داده شده است.

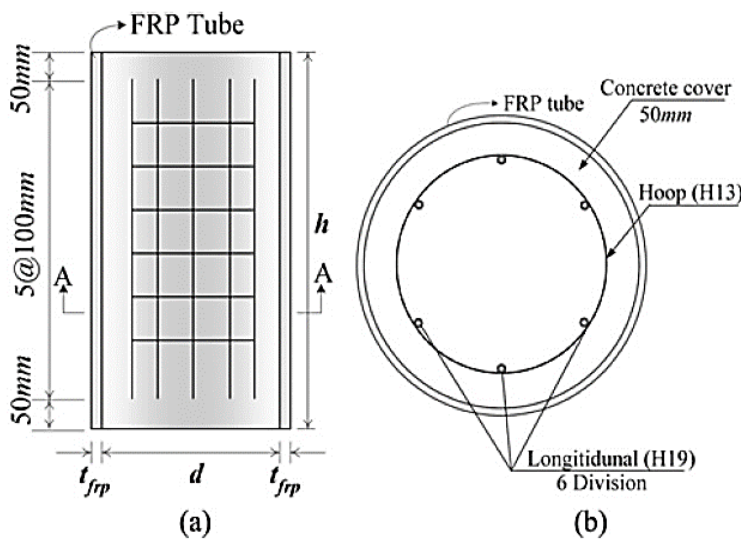
شابختی و همکاران در سال ۱۳۸۷ تحقیقی بر روی تعیین ظرفیت ستون‌های مقاوم‌سازی شده با CFRP تحت بار محوری انجام دادند. آن‌ها ۵۰ ستون با مقاطع مختلف دایره‌ای، مربعی و مستطیلی که با استفاده از لایه‌های مختلف CFRP مقاوم‌سازی شده بودند، مورد بررسی قرار دادند و

۲ Analysis System (^۴NSYS)

۳ Abaqus

۴ Kumutha et al.

۱ Park et al.



شکل ۱۸. مقطع نمونه های مورد استفاده در تحقیق پارک و همکاران [۴۴]

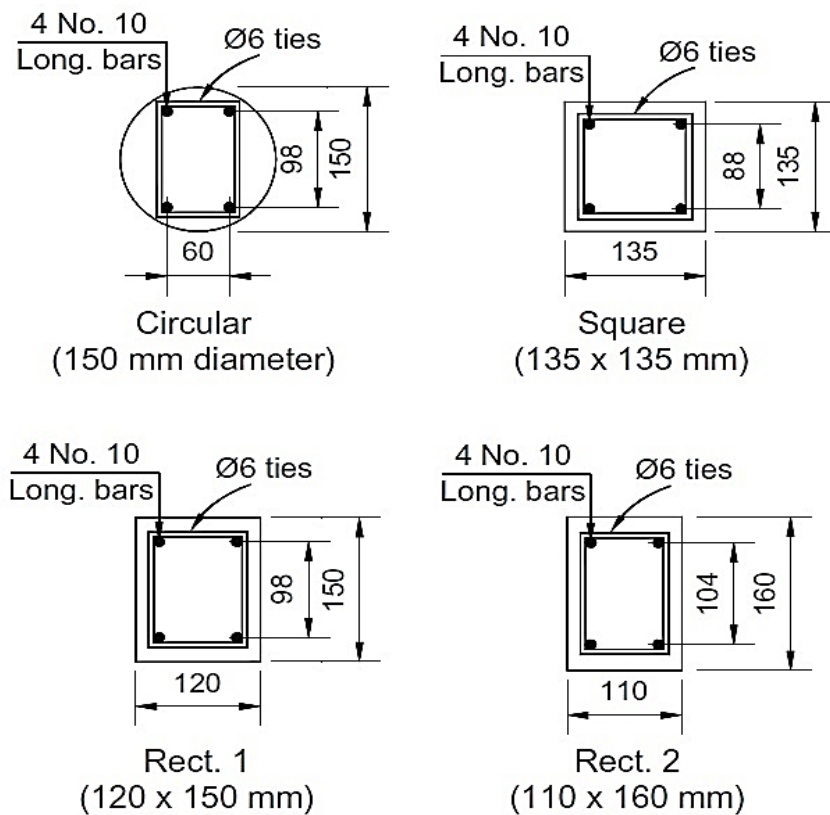
Fig. 18. Cross section of specimens used in the research of Park et al. [44]

افزایش ۱۶٪ و ۴۱٪ شده است. همچنین مشاهده گردید که اثر دورپیچ بر ظرفیت نهایی ستون های ساخته شده از بتن معمولی بیشتر است که این نتایج همخوانی نسبی با نتایج تحقیق مذکور دارند. ال ماداوی و همکاران^۳ در سال ۲۰۱۰ تأثیر شکل مقطع و نحوه بارگذاری را بر عملکرد ستون بتن مسلح محصور شده با CFRP تحت بار محوری بررسی کردند. آنها ۳۲ ستون بتن مسلح با مقاطع دایره ای، مربعی و مستطیلی و با دو نسبت ابعاد مختلف (۱:۱/۲۵ و ۱:۱/۴۵) و به ارتفاع ۴۸۰ میلی متر را تحت بار محوری خالص قرار دادند. نتایج آزمایش ها نشان داد که افزایش ظرفیت نهایی ستون محصور شده تحت بار محوری خالص از ۷٪ تا ۴۴٪ به ترتیب در مقاطع مستطیلی و دایروی تغییر می کند [۴۹]. این افزایش ظرفیت در تحقیق حاضر در ستون های ساخته شده از بتن معمولی ۲۹٪ است که همخوانی خوبی با نتایج تحقیق مذکور دارد. مقاطع استفاده شده در تحقیق ال ماداوی و همکاران در شکل ۱۹ و درصد افزایش ظرفیت فشاری نیز در شکل ۲۰ نشان داده شده اند.

حسینی واعظ و همکاران در سال ۱۳۹۴ یک بررسی فنی و اقتصادی به منظور جایگزینی بتن پر مقاومت با بتن معمولی در ساختمان های بتن آرمه انجام دادند. از آنجایی که باید جامعه بتن ایران در افق ۱۴۰۴، بتن با مقاومت ۵۰ مگاپاسکال را جایگزین بتن های امروزی کند، لزوم حرکت هر

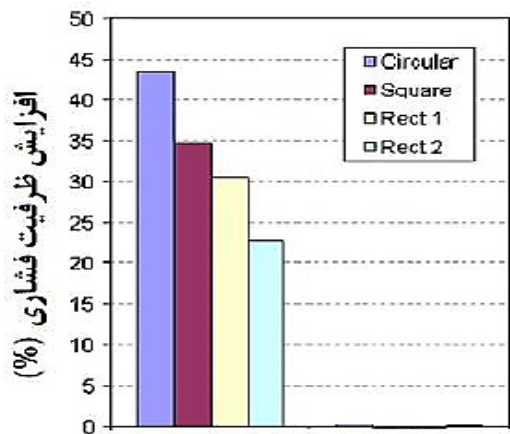
دورپیچ باعث افزایش ظرفیت فشاری نهایی به میزان ۳/۵٪ و ۲/۹٪ و ۲/۶٪ و ۲/۲٪ و ۱/۶٪ و ۱/۷٪ به ترتیب برای ستون های مستطیلی با نسبت ابعاد مقطع ۱/۲۵، ۱/۲۵ و ۱/۶۷ گردید [۴۷]. در تحقیق حاضر این مقدار افزایش ظرفیت نهایی برای یک لایه و دو لایه دورپیچ به ترتیب ۷٪ و ۲۸٪ می باشد که علت اختلاف نتایج را می توان به تفاوت موجود در شکل مقطع نسبت داد.

شهابی و همکاران^۱ در سال ۲۰۰۰ تحقیقی روی ستون های بتنی استوانه ای به ابعاد ۱۵۰×۳۰۰ میلی متر ساخته شده از دو نوع بتن معمولی و پر مقاومت با مقاومت های فشاری ۱۹/۴ و ۴۹ مگاپاسکال و مقاومت ایزی شده با دورپیچ CFRP انجام دادند. نتایج نشان داد که تأثیر دورپیچ بر ستون های با مقاومت فشاری کمتر، بیشتر است. استفاده از ۱، ۲، ۳، ۴ و ۵ لایه دورپیچ در ستون های ساخته شده با بتن معمولی می تواند ظرفیت محوری را به میزان ۱/۷۴، ۱/۷۴، ۳/۲۹، ۲/۲۳، ۲/۳۹ و ۴/۱۳ برابر افزایش دهد. همچنین استفاده از ۱، ۲، ۳ و ۴ لایه دورپیچ در ستون های ساخته شده با بتن پر مقاومت، ظرفیت محوری را به میزان ۱/۲۱، ۱/۵۶، ۱/۰۲ و ۲/۳ برابر افزایش داد [۴۸]. در تحقیق حاضر نیز استفاده از یک لایه و دو لایه دورپیچ در ستون های فاقد غلاف و ساخته شده از بتن معمولی به ترتیب باعث افزایش ۲۹٪ و ۳۶٪ در ستون های ساخته شده از بتن پر مقاومت نیز باعث



شکل ۱۹. مقاطع نمونه های استفاده شده در تحقیق ال ماداوی و همکاران [۴۹]

Fig. 19. Cross section of specimens used in the research of El Madawi et al. [49]



شکل ۲۰. درصد افزایش ظرفیت فشاری ستون ها استفاده شده در تحقیق ال ماداوی و همکاران [۴۹]

Fig. 20. Percentage increase in the compressive capacity of the columns used in the research of El Madawi et al. [49]

چه سریع‌تر به این مقصود امری ضروری به نظر می‌رسد. لذا این محققان به بررسی و مقایسه فنی و اقتصادی بین هزینه اضافه در بتن پر مقاومت نسبت به صرفه‌جویی به دلیل کاهش ابعاد اعضای سازه، افزایش دوام و عمر سازه و کاهش مصرف آرماتور پرداختند. برای انجام این تحقیق با مدل‌سازی و طراحی دو ساختمان بتی ۶ طبقه یکسان که در سازه اول در تمام اعضاء از بتن معمولی با مقاومت ۲۵ مگاپاسکال و در سازه دوم در برخی اعضاء از بتن با مقاومت بالا به میزان ۴۰ مگاپاسکال استفاده شده بود، به متوجه مقایسه هزینه تمام شده این دو سازه پرداختند. نتایج نشان داد که جایگزینی بتن با مقاومت بالا در تیرچه‌ها و ستون‌ها موجب نزدیک شدن هزینه تمام شده دو سازه نسبت به یکدیگر خواهد شد [۵۰]. نتایج تحقیق حاضر از منظر مقایسه فنی و اقتصادی همخوانی خوبی با نتایج تحقیق حسینی واعظ و همکاران دارد.

جدول ۱۰. مقایسه فنی و اقتصادی ستون‌های تحقیق

Table 10. Technical and economic comparison of research columns

نام نمونه	هزینه قالب-بندی، آرماتوربندی و بتن ریزی (ریال)	غلاف GRP (m)	هزینه غلاف GRP (ریال)	CFRP (m ³)	هزینه CFRP (ریال)	هزینه ساخت ستون (ریال)	نسبت هزینه ساخت ستون به هزینه ستون N	نسبت مقاومت ستون به مقاومت ستون N
N	۳,۰۰۰,۰۰۰	--	--	--	--	۳,۰۰۰,۰۰۰	۱.۰۰	۱.۰۰
NF1	۳,۰۰۰,۰۰۰	--	--	--	--	۴,۲۰۰,۰۰۰	۱.۴۰	۱.۲۹
NF2	۳,۰۰۰,۰۰۰	--	--	--	--	۵,۴۰۰,۰۰۰	۱.۸۰	۱.۳۶
GN	۲,۹۵۰,۰۰۰	.۶	۳۵,۰۰۰	--	--	۶,۴۵۰,۰۰۰	۲.۱۵	۴.۵۵
GNF1	۲,۹۵۰,۰۰۰	.۶	۳۵,۰۰۰	.۶	۱۲,۰۰۰	۷,۶۵۰,۰۰۰	۲.۵۵	۵.۰۰
GNF2	۲,۹۵۰,۰۰۰	.۶	۳۵,۰۰۰	۱.۲	۲۴,۰۰۰	۸,۸۵۰,۰۰۰	۲.۹۵	۵.۵۱
H	۳,۲۰۰,۰۰۰	--	--	--	--	۳,۲۰۰,۰۰۰	۱.۰۷	۱.۳۶
HF1	۳,۲۰۰,۰۰۰	--	--	.۶	۱,۲۰۰,۰۰۰	۴,۴۰۰,۰۰۰	۱.۴۷	۱.۵۷
HF2	۳,۲۰۰,۰۰۰	--	--	۱.۲	۲,۴۰۰,۰۰۰	۵,۶۰۰,۰۰۰	۱.۸۷	۱.۹۱
GH	۳,۱۵۰,۰۰۰	.۶	۳۵,۰۰۰	--	--	۶,۶۵۰,۰۰۰	۲.۲۲	۵.۲۱
GHF1	۳,۱۵۰,۰۰۰	.۶	۳۵,۰۰۰	.۶	۱,۲۰۰,۰۰۰	۷,۸۵۰,۰۰۰	۲.۶۲	۵.۵۳
GHF2	۳,۱۵۰,۰۰۰	.۶	۳۵,۰۰۰	۱.۲	۲,۴۰۰,۰۰۰	۹,۰۵۰,۰۰۰	۳.۰۲	۶.۰۷

ستون‌های دارای غلاف مقوون به صرفه نیست، زیرا ظرفیت فشاری ایجاد شده ناشی از مقاوم‌سازی با این دوربیچ کمتر از هزینه انجام شده می‌باشد. از بین ستون‌های بررسی شده ستون‌های دارای غلاف و فاقد دوربیچ، یعنی ستون‌های GN و GH بیشترین نسبت افزایش ظرفیت فشاری به هزینه ساخت به ترتیب به مقدار ۲/۱۲ و ۲/۳۵ برابر را دارند، لذا این ستون‌ها را به عنوان اقتصادی‌ترین ستون‌ها برای اجراء می‌توان پیشنهاد نمود.

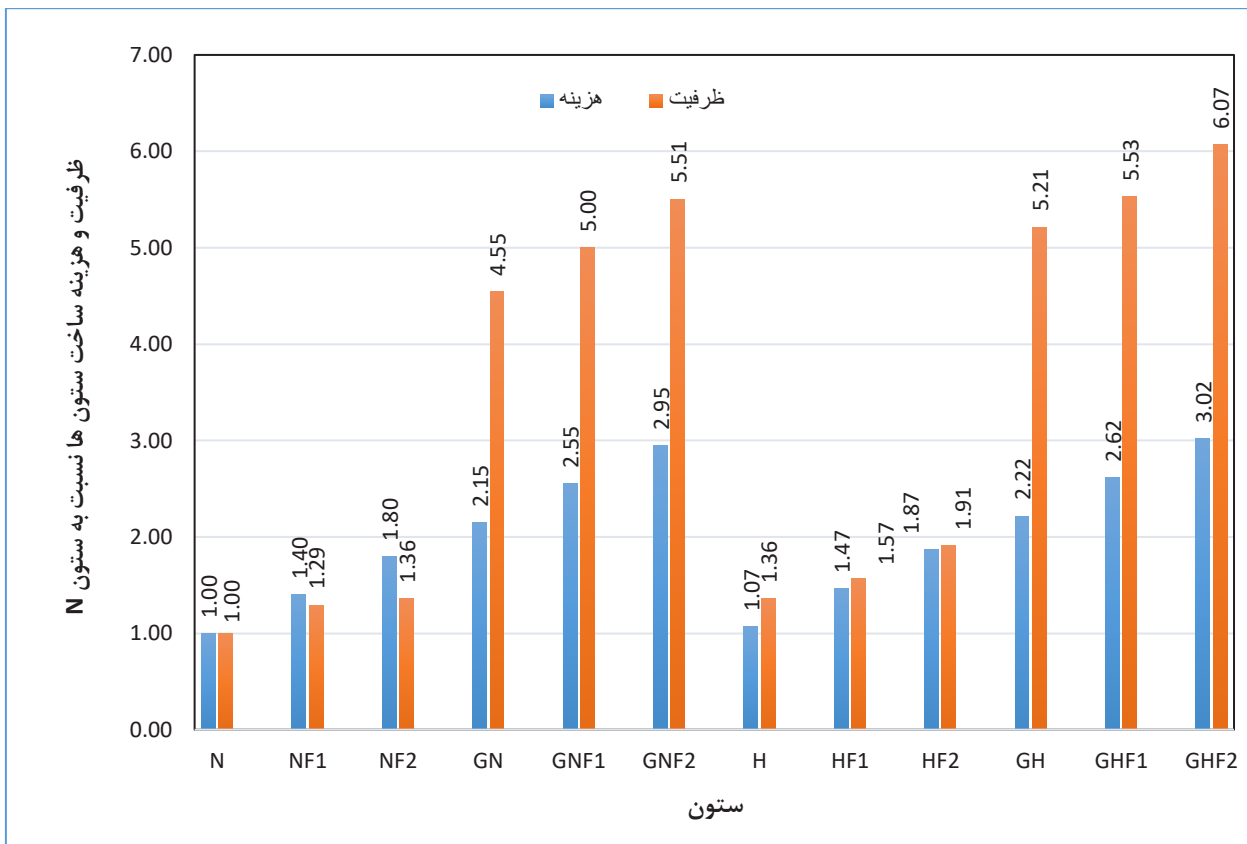
۴- ارزیابی فنی و اقتصادی

در ادامه با ارزیابی هزینه‌های انجام شده جهت ساخت ستون‌ها و تعیین ظرفیت نهایی هر ستون مقایسه فنی و اقتصادی انجام شد [۴۰]. در جدول ۱۰ نسبت هزینه‌های ساخت ستون‌های تحقیق و تاثیر آن‌ها بر ظرفیت نهایی آن‌ها ارائه شده است. نسبت هزینه ساخت و ظرفیت نهایی هر یک از ستون‌ها به هزینه و ظرفیت نهایی ستون N و مقایسه آن‌ها در شکل ۲۱ ارائه شده است.

۵- نتیجه‌گیری

نتیجه کلی این تحقیق معرفی یک نوع جدید از ستون‌های بتن آرمه بیضی شکل مرکب دارای غلاف GRP و دوربیچ CFRP می‌باشد. نتایج رضایت‌بخش استفاده از غلاف بیضی شکل نشان داد که این غلاف می‌تواند در اجرای پایه پل‌ها و ساختمان‌های جدید استفاده شود، همچنین دوربیچ می‌تواند به منظور تقویت ستون‌های بتی موجود که به دلیل استفاده از آین نامه‌های طراحی قدیمی و یا به دلایل اجرایی دچار ضعف هستند، برای افزایش ظرفیت و سختی و ارتقاء عملکرد استفاده شوند.

بررسی شکل ۲۱ نشان می‌دهد که نسبت ظرفیت نهایی فشاری ایجاد شده توسط دوربیچ‌های CFRP در ستون‌های فاقد غلاف کمتر از نسبت هزینه انجام شده ساخت ستون‌ها می‌باشد، در حالی که در ستون‌های دارای غلاف GRP، افزایش ظرفیت ایجاد شده بیشتر از هزینه انجام شده برای غلاف‌های آن‌ها می‌باشد. به طور میانگین افزایش ظرفیت حدود ۲۰/۶ برابر افزایش هزینه ساخت نسبت به ستون‌های مشابه بدون غلاف بوده است، لذا استفاده از غلاف جهت افزایش مقاومت ستون‌های بتن مسلح بیضی شکل مقوون به صرفه می‌باشد. همچنین مشهود است که استفاده از دوربیچ، در



شکل ۲۱. مقایسه افزایش ظرفیت و هزینه ساخت ستون‌ها نسبت به ستون N

Fig. 21. Comparison of increase in capacity and construction cost of columns compared to column N

۳- افزایش تعداد لایه‌های دورپیچ CFRP موجب افزایش ظرفیت نیروی فشاری ستون‌های بتن‌آرم‌های بیضی شکل گردید، به طوری که میانگین افزایش ظرفیت ناشی از کاربرد یک لایه و دو لایه دورپیچ نسبت به ستون‌های مشابه فاقد دورپیچ در ستون‌های با بتن معمولی به ترتیب 19% و 28% و در ستون‌های با بتن پرمقاومت 11% و 28% می‌باشد. مشهود است که تاثیر دورپیچ بر ستون‌های ساخته شده از بتن معمولی بیشتر است.

۴- تغییر مکان محوری نهایی ستون‌های بتن‌آرم‌های بیضی شکل با دورپیچ CFRP در مقایسه با ستون‌های فاقد دورپیچ بیشتر است. به طوری که استفاده از یک لایه و دو لایه الیاف باعث افزایش تغییر مکان محوری نهایی به ترتیب در ستون‌های با بتن معمولی 22% و 45% و در ستون‌های با بتن پرمقاومت 18% و 38% گردید.

۵- استفاده از غلاف GRP باعث افزایش تغییر مکان محوری نهایی ستون‌های بتن‌آرم‌های بیضی شکل به مقدار زیادی شده به گونه‌ای که میانگین

نتایج کلیدی حاصل از تحقیق به شرح زیر می‌باشند:

۱- استفاده از GRP به عنوان قالب و غلاف تقویتی ستون‌های بتن‌آرم‌های بیضی شکل باعث افزایش قابل ملاحظه‌ای در ظرفیت فشاری آن‌ها گردید، به طوری که ظرفیت فشاری ستون‌های دارای غلاف نسبت به ستون‌های مشابه بدون غلاف، به ترتیب و به طور میانگین در ستون‌های ساخته شده از بتن‌های معمولی و پرمقاومت 315% و 251% بیشتر بوده است.

۲- تقویت ستون‌های بتن‌آرم‌های با دورپیچ CFRP باعث افزایش ظرفیت فشاری ستون‌ها می‌شود. به طور میانگین استفاده از دورپیچ در ستون‌های فاقد غلاف GRP و ساخته شده از بتن‌های معمولی و پرمقاومت به ترتیب به میزان 33% و 10% و در ستون‌های دارای غلاف و ساخته شده از بتن‌های معمولی و پرمقاومت به ترتیب به میزان 28% و 11% افزایش نشان داد. این نتایج نشان می‌دهد که تاثیر دورپیچ بر افزایش ظرفیت ستون‌های فاقد غلاف و ساخته شده از بتن پرمقاومت کمتر می‌باشد.

August 1-6, 2004.

- [4] Hosnich, M.M., Aoude, H., Cook, W.D., Mitchell, D., "Behavior of ultra-high performance fiber reinforced concrete columns under pure axial loading", *Engineering Structures*, Vol. 99, pp. 388–401, 2015.
- [5] Hasan, H.A., Sheikh, M.N., Hadi, M.N.S., "Performance evaluation of high strength concrete and steel fibre high strength concrete columns reinforced with GFRP bars and helices", *Construction and Building Materials*, Vol. 134, pp. 297-310, 2017.
- [6] Zeng, J.J., Guo, Y. Ch., Guo, W.Y., Chen, W.P., Li, L.J., "Stress-Strain Behavior of Circular Concrete Columns Partially Wrapped with FRP Strips", *Composite Structures*, Vol. 200, pp. 810–828, 2018.
- [7] اجتماعی، ب، توکلیزاده، م، ر، قدس، ا، ص، "بررسی اثر دور پیچ GFRP به صورت نوارهای مجزا در رفتار ستون‌های بتن آرمه"، هشتمین کنفرانس ملی سالیانه بتن ایران، تهران، مهرماه ۱۳۹۵.
- [8] Santandrea, M., Imohamed, I.A.O., Jahangir, H., Carloni, C., Mazzotti, C., De Miranda, S., Ubertini, F., Savoia, M., Casadei, P., "An Investigation of the Debonding Mechanism in Steel FRP and FRCM Concrete Joints" The New Boundaries of Structural Concrete Conference, Capri Island, Italy, 2016.
- [9] جهانگیر، م، اصفهانی، م، ر، "رابطه‌سازی کرنش کامپوزیت‌های نوین الایافی در آزمون‌های خمشی"، نشریه علمی – پژوهشی مهندسی سازه و ساخت، دوره ۵، شماره ۳، صص ۹۲ – ۱۰۷، ۱۳۹۷.
- [10] برقیان، م، فرامرز، م، رمضانی، پ، "نمودار اندرکنش ستون بتنی مسلح توالی مخصوص با FRP"، نشریه علمی- پژوهشی مهندسی عمران امیرکبیر، دوره ۴۸، شماره ۱، صص ۶۴ – ۵۳، ۱۳۹۵.
- [11] Seffo, M., Hamcho, M., "Strength of Concrete Cylinder Confined by Composite Materials (CFRP)", *Energy Procedia*, Vol. 19, pp. 276–285, 2012.
- [12] Mirmiran, A., Shahawy, M., Samaan, M., El Echary, H., Mastrapa, J.C., Pico, O., "Effect of column parameters on FRP-confined concrete», *journal of composites for construction*, Vol.2, No.4, pp. 175–185, 1998.

این افزایش در ستون‌های دارای غلاف نسبت به ستون‌های مشابه بدون غلاف برای ستون‌های ساخته شده از بتن معمولی ۳۱۳٪ و ستون‌های ساخته شده از بتن پر مقاومت ۲۸۷٪ بوده است. لذا تاثیر استفاده از غلاف بر تغییر مکان محوری نهایی ستون‌های ساخته شده از بتن معمولی بیشتر است.

۶- بررسی نحوه شکست ستون‌های بتن آرمه بیضی شکل نشان داد که اکثر ستون‌ها در اثر کمانش میلگردی طولی دچار گسیختگی شدند. در ستون‌های فاقد غلاف GRP گسیختگی اکثراً موضعی و تدریجی اتفاق افتاد. در این ستون‌ها گسیختگی در یکی از دو انتهای ستون رخ داد که علت آن را می‌توان مخصوصیت کمتر هسته بتنی در دو انتهای ستون از سوی شبکه میلگردی داشت. در حالی که در ستون‌های دارای غلاف گسیختگی کامل و به صورت انهدام و با صدای انفجار در کل طول ستون واقع شد، که علت آن را می‌توان در میزان بسیار زیاد مخصوصیت ناشی از غلاف دانست؛ این میزان مخصوصیت باعث جلوگیری از کمانش زود هنگام میلگردها، رسیدن تمام نقاط ستون به حداقل کرنش قابل تحمل خود، کمانش میلگردی طولی، قطع میلگرد مارپیچ و نهایتاً گسیختگی ستون گردید.

۷- ارزیابی فنی و اقتصادی ستون‌های تحقیق نشان داد که استفاده از غلاف GRP جهت مقاومت‌سازی ستون‌ها بسیار مقرون به صرفه‌تر از کاربرد دور پیچ CFRP می‌باشد، به طوری که افزایش ظرفیت در ستون‌های دارای غلاف بیشتر از هزینه انجام شده برای مقاومت‌سازی آن‌ها است، ولی نسبت افزایش ظرفیت حاصل از دور پیچ در ستون‌های با و بدون غلاف به هزینه صرف شده جهت مقاومت‌سازی با این مصالح، کمتر بوده است. بیشترین نسبت افزایش ظرفیت فشاری به هزینه ساخت، مربوط به ستون‌های دارای غلاف و فاقد دور پیچ، یعنی ستون‌های GH و GN است، لذا می‌توان آن‌ها را به عنوان اقتصادی‌ترین ستون‌ها برای اجراء پیشنهاد نمود.

منابع

- [۱] "سندي جامع چشم‌انداز بتن ۱۴۰۴ کشور"، مرکز تحقیقات راه، مسکن و شهرسازی، تهران، ایران، ۱۳۹۲.
- [۲] جانمیان، ک، "تولید صنعتی بتن با مقاومت بالا"، انتشارات علم عمران، چاپ اول، صص ۱۵-۱۲.
- [۳] Ozbakkaloglu, T., Saatcioglu, M., "Seismic Performance of High-Strength Concrete Columns Cast in Stay-in-Place for Formwork", 13th World Conference on Earthquake Engineering, Vancouver, B.C., Canada, Paper NO. 2719,

- confined RAC under axial and eccentric loading with and without expansive agent”, Construction and Building Materials, Vol. 73, pp. 575–585, 2014.
- [23] حسن‌زاده، ی.، حکیم‌زاده، ح.، عیاری، ش.، "بررسی اثر اشکال مختلف پایه‌های پل بر الگوی جریان اطراف آن با استفاده از نرم‌افزار Fluent", تحقیقات منابع آب ایران، سال هفتم، شماره سوم، ۱۳۹۰.
- [24] Uenaka, K., "Experimental study on concrete filled elliptical/oval steel tubular stub columns under compression", Thin-Walled Structures, Vol. 78, pp. 131–137, 2014.
- [25] Shen, Q., Wang, J., Wang, W., Wang, Zh, "Performance and design of eccentrically-loaded concrete-filled round-ended elliptical hollow section stub columns", Journal of Constructional Steel Research, Vol. 150, pp. 99–114, 2018.
- [26] Uenaka, K., Tsunokake, H., Gardner, L., "Concrete filled elliptical steel tubular members with large diameter-to-thickness ratio subjected to bending", Engineering Structures, Vol. 5, pp. 58–66, 2016.
- [27] Jamaluddin, N., Lam, D., Dai, X.H., Ye, J., "An experimental study on elliptical concrete filled columns under axial compression", Journal of Constructional Steel Research, Vol. 87, pp. 6–16, 2013.
- [28] Mccann, F., Gardner, L., Qiu, W., "Experimental study of slender concrete-filled elliptical hollow section beam-columns", Journal of Constructional Steel Research, Vol. 113, pp. 185–194, 2015.
- [29] Yanga, H., Liua, F., Chanc, T. M., Wang, W., "Behaviours of concrete-filled cold-formed elliptical hollow section beamcolumns with varying aspect ratios", Thin-Walled Structures, Vol. 120, pp. 9–28, 2017.
- [30] Hadi, M.N.S., Wang, W., Sheikh, M.N., "Axial compressive behaviour of GFRP tube reinforced concrete columns", Construction and Building Materials, Vol. 81, pp. 198–207, 2015.
- [31] Xiao, J., Tresserras, J., Tam, V.W.Y., "GFRP-casing confined RAC under axial and eccentric loading with
- [13] Ozbakkaloglu, T., "Axial Compressive Behavior of Square and Rectangular High-Strength Concrete-Filled FRP Tubes», journal of composites for construction, Vol. 17, pp. 151–161, 2013.
- [14] EL Maaddawy, T., EL Sayed, M., Abdel-Magid, B., "The effects of cross-sectional shape and loading condition on performance of reinforced concrete members confined with Carbon Fiber-Reinforced Polymers», Materials and Design, Vol. 31, pp. 2330–2341, 2010.
- [15] Ozbakkaloglu, T., Xie, T., "Geopolymer concrete-filled FRP tubes: Behavior of circular and square columns under axial compression», Composites Part B, Vol. 96, pp. 215–230, 2016.
- [16] Mirmiran, A., Shahawy, M., "A new concrete-filled hollow FRP composite column», Composites Part B, Vol. 27B, pp. 263–268, 1996.
- [17] Kusumawardaningsih, Y., Hadi, M.N.S., "Comparative behaviour of hollow columns confined with FRP composites», Composite Structures, Vol. 93, pp. 198–205, 2010.
- [18] Almusallam, T.H., "Behavior of normal and high-strength concrete cylinders confined with E-glass/epoxy composite laminates», Composites Part B, Vol. 38, pp. 629–639, 2007.
- [19] Vincent, T., Ozbakkaloglu, T., "Influence of concrete strength and confinement method on axial compressive behavior of FRP confined high- and ultra high-strength concrete», Composites: Part B, Vol. 50, pp. 413–428, 2013.
- [20] Teng, J. G., Lam, L., "Compressive Behavior of Carbon Fiber Reinforced Polymer-Confined Concrete in Elliptical Columns", Engineering Structures, Vol. 128, pp. 1535–1543, 2002.
- [21] Domingo, A.M., Chris, P.P., "Elliptical and circular FRP-confined concrete sections: A Mohr–Coulomb analytical model", International Journal of Solids and Structures, Vol. 49, pp. 881–898, 2012.
- [22] Xiao, J., Tresserras, J., Tam, V.W.Y., "GFRP-tube

- [42] Hassanein, M.F., Patel, V.I., Hadidy, A.M.E., Abadi, H.A., Elchalakani, M., "Structural behaviour and design of elliptical high-strength concrete-filled steel tubular short compression members", *Engineering Structures*, Vol. 173, pp. 495-511, 2018.
- [43] مستوفی‌نژاد، د. سلجوقیان اصفهانی، ع.ر.، "بررسی رفتار محوری و خمشی ستون‌های بتن‌آرمه با مقطع مربعی، محصور شده با کامپوزیت CFRP"، هشتمین کنگره ملی مهندسی عمران، دانشکده مهندسی عمران، بابل، اردیبهشت ماه ۱۳۹۳.
- [44] J.H. Park., B.W. Jo., S.J. Yoon., S.K. Park., "Experimental investigation on the structural behavior of concrete filled FRP tubes with/without steel re-bar", *KSCE Journal of Civil Engineering*, Vol. 15, No. 2, pp. 337-345, 2011.
- [45] شابختی، ن.، قلعه نوعی، م.، شهرکی، م.، "تعیین ظرفیت ستون‌های مقاوم‌سازی شده با FRP تحت بار محوری"، اولین کنفرانس بین‌المللی، تبریز، ایران، ۲۹ مهرماه الی ۱ آبان ماه ۱۳۸۷.
- [46] پوراهوازی، پ.، گندمکار، ف.، ع.، "مطالعه عددی رفتار ستون‌های فولادی بیضوی پرشده با بتن تحت نیروی فشاری محوری"، چهارمین کنگره بین‌المللی عمران، معماری و توسعه شهری، تهران، دیبرخانه دائمی کنفرانس، دانشگاه شهید بهشتی، ۱۳۹۵.
- [47] Kumutha, R., Vaidyanathan, R., Palanichamy, M., "Behaviour of reinforced concrete rectangular columns strengthened using GFRP», *Cement and concrete composites*, Vol. 29, No. 8, pp. 609-615, 2007.
- [48] Shahawy, M., Mirmiran, A., Beitelman. T., "Tests and modeling of carbon-wrapped concrete columns", *Composites Part B: Engineering*, Vol. 31, No. (6-7), pp. 471-480, 2000.
- [49] El Maaddawy, T., El Sayed., M., Abdel-Magid, B., "The effects of cross-sectional shape and loading condition on performance of reinforced concrete members confined with carbon fiber-reinforced polymers", *Materials & Design*, Vol. 23, No. 5, pp. 2330-2341, 2010.
- [50] حسینی واعظ، س.ر.، خانی، ع.، اردکانی، ا.، بزرگر سلوکلائی، ح.، باقری، ب.، "بررسی فنی و اقتصادی جایگزینی بتن پر مقاومت در ساختمان‌های بتن‌آرمه"، هفتمین کنفرانس ملی سالیانه بتن، تهران، مرداد ۱۳۹۴.
- and without expansive agent", *Construction and Building Materials*, Vol. 73, pp. 575–585, 2014.
- [32] Huang, L., Sun, X., Yan, L., Kasal. B., "Impact behavior of concrete columns confined by both GFRP casing and steel spiral reinforcement", *Construction and Building Materials*, Vol. 131, pp. 438–448, 2017.
- [33] Bagheri, M., Chahkandi, A., Jahangir, H., "Seismic Reliability Analysis of RC Frames Rehabilitated by Glass Fiber-Reinforced Polymers" *International Journal of Civil Engineering*, Vol. 17, pp. 1785–1797, 2019.
- [34] ASTM D7565/D7565M-10, Standard test method for determining tensile properties of fibre reinforced polymer matrix composites used for strengthening of civil structures, United States: ASTM International, 2010.
- [35] ASTM D2996-01, Standard Specification for Filament-Wound Fiberglass (Glass-Fiber-Reinforced Thermosetting-Resin) Pipe, ASTM Committee D29; 2001.
- [36] ASTM D638-02, Standard Test Method for Tensile Properties of Plastics, ASTM Committee D63; 2002.
- [37] ACI Committee 211, Standard Practice for Selecting Proportions for Normal, Heavyweight and Mass Concrete (Reapproved 2009), ACI 211.1-91. Farmington Hills, MI, USA, 1991.
- [38] <https://www.ahanpakhsh.com>
- [39] BS 8110, Structural use of concrete Part 1, Code of practice for design and construction, in, British Standard Institution, London, 1997.
- [40] Shafieinia, M., Sajedi, F., "Evaluation and comparison of GRP and FRP applications on the behavior of RCCs made of NC and HSC", *smart structures and systems*, Vol. 23, No. 5, pp. 495-506, 2019.
- [41] Sajedi, F., Shariati, M., "Behavior study of NC and HSC RCCs confined by GRP casing and CFRP wrapping", *Steel and Composite Structures*, Vol. 30, No. 5, pp. 417-432, 2019.

چگونه به این مقاله ارجاع دهیم

M. M. Raghpour, S. F. Sajedi, A. Dalvand, Evaluation and comparison of capacity and rupture of elliptical columns, with and without casing, and application of single-layer and double-layer wrapping, under pure axial pressure, Amirkabir J. Civil Eng., 54(3) (2022) 1029-1056.

DOI: [10.22060/ceej.2021.19193.7099](https://doi.org/10.22060/ceej.2021.19193.7099)

